

การตรวจเอกสาร

เหล็ก

เหล็กเป็นโลหะที่มีการนำมาราชเทียร์และมีความสำคัญต่อมนุษย์ในด้านอุตสาหกรรม ทั้งในอุตสาหกรรมการก่อสร้าง การผลิตอุปกรณ์ไฟฟ้า ยานยนต์ โดยเหล็กบริสุทธิ์ มีคุณสมบัติทั่วไป ดังแสดงในตารางที่ 1

ตารางที่ 1 แสดงคุณสมบัติของเหล็กบริสุทธิ์

คุณสมบัติทั่วไป	ค่าที่พบ
สัญลักษณ์	Fe
เลขอะตอม	26
น้ำหนักอะตอม	55.85
ความถ่วงจำเพาะ (Specific Weight)	7.87 ¹
จุดเดือด (องศาเซลเซียส)	1,535
จุดหลอมเหลว (องศาเซลเซียส)	3,000
ความร้อนจำเพาะ (0-100 องศาเซลเซียส), 〔แคลอรีต่อกิโลกรัม〕	65
ความร้อนแผงของการหลอมละลาย (แคลอรีต่อกิโลกรัม)	1,598

หมายเหตุ¹ ความหนาแน่นปรากฏ (Apparent Density) ของเหล็กออกไซด์ จากสเกลเหล็ก โรงงานผลิตเหล็กรีดร้อน เท่ากับ 4.86 (ศูนย์ทดสอบโลหะวัสดุแห่งชาติ, 30 มีนาคม 2549)

ที่มา: นานพ (2545)

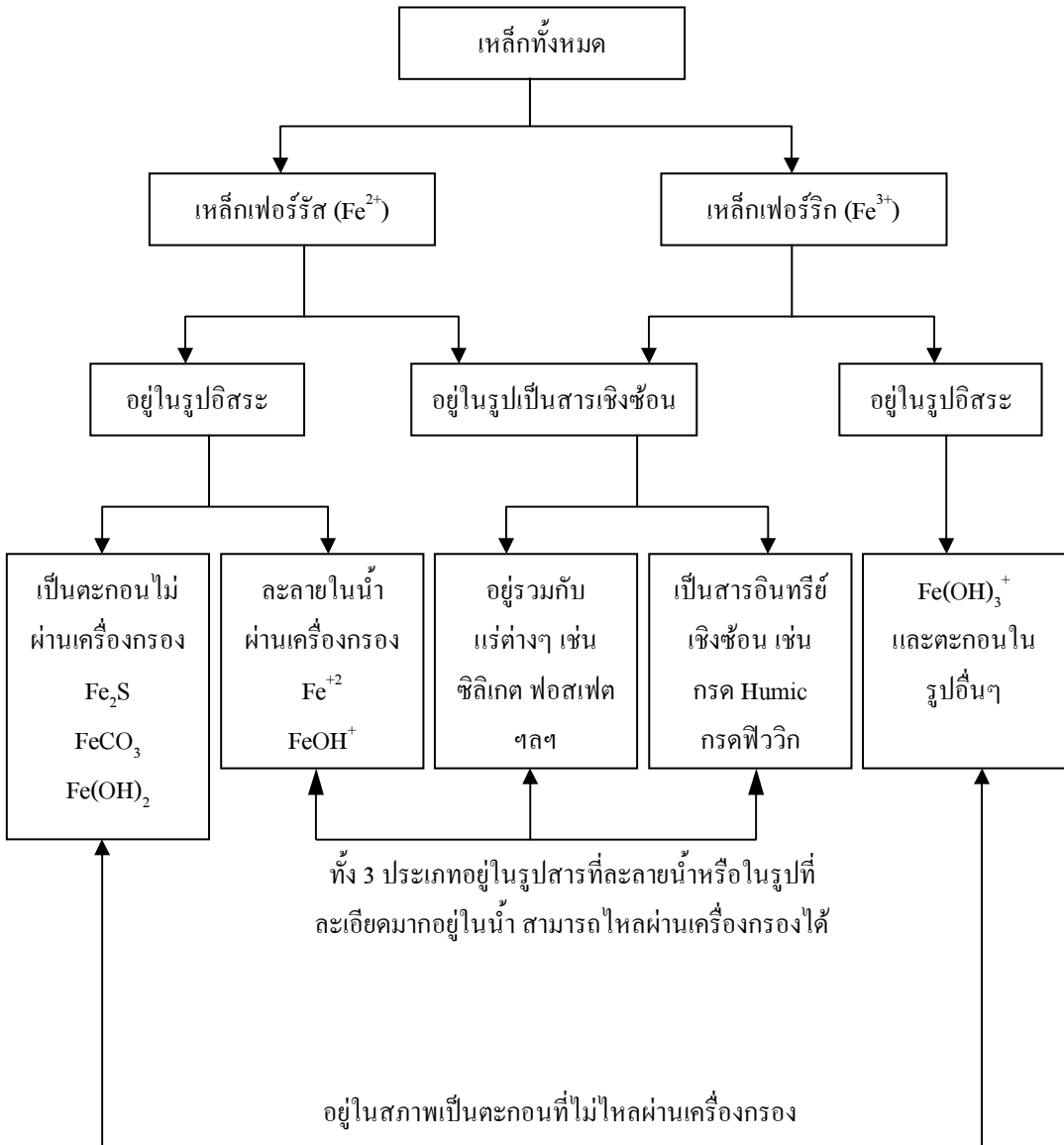
เหล็กที่อยู่ในธรรมชาติจะไม่เกิดอยู่ในรูปอิสระ โดยจะรวมตัวกับธาตุอื่นๆ เช่น ออกซิเจน (Oxygen, O) หรือ ซัลเฟอร์ (Sulfur, S) นอกจากนี้เหล็กยังรวมตัวอยู่กับดินเหนียว (Clay Ironstone) บางชนิดรวมอยู่กับถ่านหิน (Blackband Ironstone) โดยเหล็กที่พบในสภาพธรรมชาติที่เป็นสินแร่เหล็ก (Iron Ore) ดังแสดงในตารางที่ 2

ตารางที่ 2 แสดงสินแร่เหล็กที่พบในธรรมชาติและปริมาณเหล็กที่เจือปนอยู่

ชื่อเรียก	สูตรเคมี	ปริมาณเหล็กที่เจือปนอยู่
แมgnีไทต์ (Magnetite)	Fe_3O_4 หรือ $\text{FeO}-\text{Fe}_2\text{O}_3$	45-70%
ไฮมานิต (Hematite)	Fe_2O_3	40-65%
ลิโนไนต์ (Limonite)	$\text{Fe}_2\text{O}_3 \cdot n\text{H}_2\text{O}$	40-60%
ไซเดอไรต์ (Siderite)	FeCO_3	25-40%
ไฟฟ์ไรต์ (Pyrite)	FeS_2	60-65%

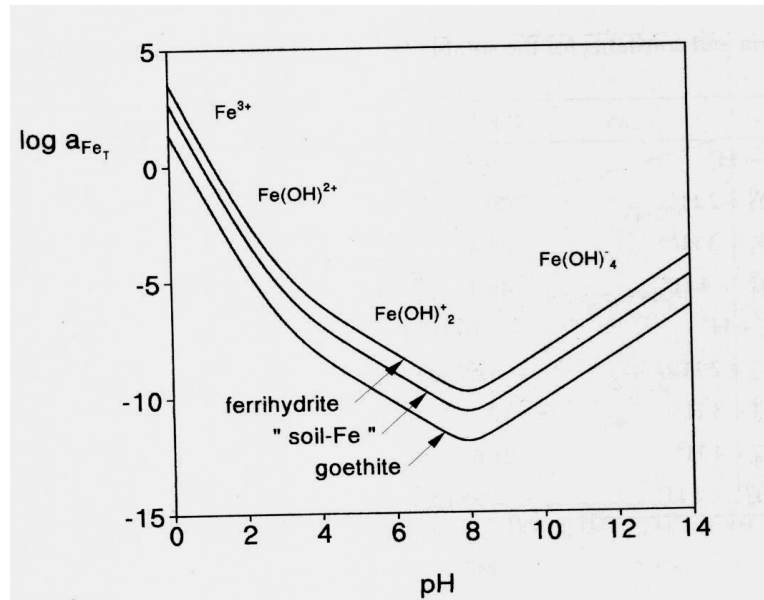
ที่มา: مانพ (2545)

นอกจากนี้ยังพบเหล็กอยู่ในแหล่งนำผิวดินและนำใต้ดิน ซึ่งอยู่ในรูปของสารประกอบเชิงซ้อนในรูปของสารละลาย ได้แก่ เฟอร์รัส (Fe^{2+}) หรือ เฟอร์ริก (Fe^{3+}) เช่น เฟอร์รัสไฮดรอกไซด์อ่อน (FeOH^+) เฟอร์ริกไฮดรอกไซด์ (Fe(OH)_3) กรดไฮมิก (Humic) กรดฟิววิก (Fulvic) หรือรวมตัวกับแร่ธาตุต่างๆ เช่น ซิลิกาต (Silicate) ฟอสเฟต (Phosphates) โดยเหล็กที่ละลายในน้ำ ดังแสดงในภาพที่ 1 ทั้งนี้ ความสามารถในการละลายนำของเหล็กจะขึ้นอยู่กับค่าของ พีเอช (pH) โดยพีเอชต่ำจะมีความสามารถในการละลายได้ดีกว่าพีเอชสูง ดังแสดงในภาพที่ 2



ภาพที่ ๑ แสดงเหล็กที่ละลายอูฐในน้ำ

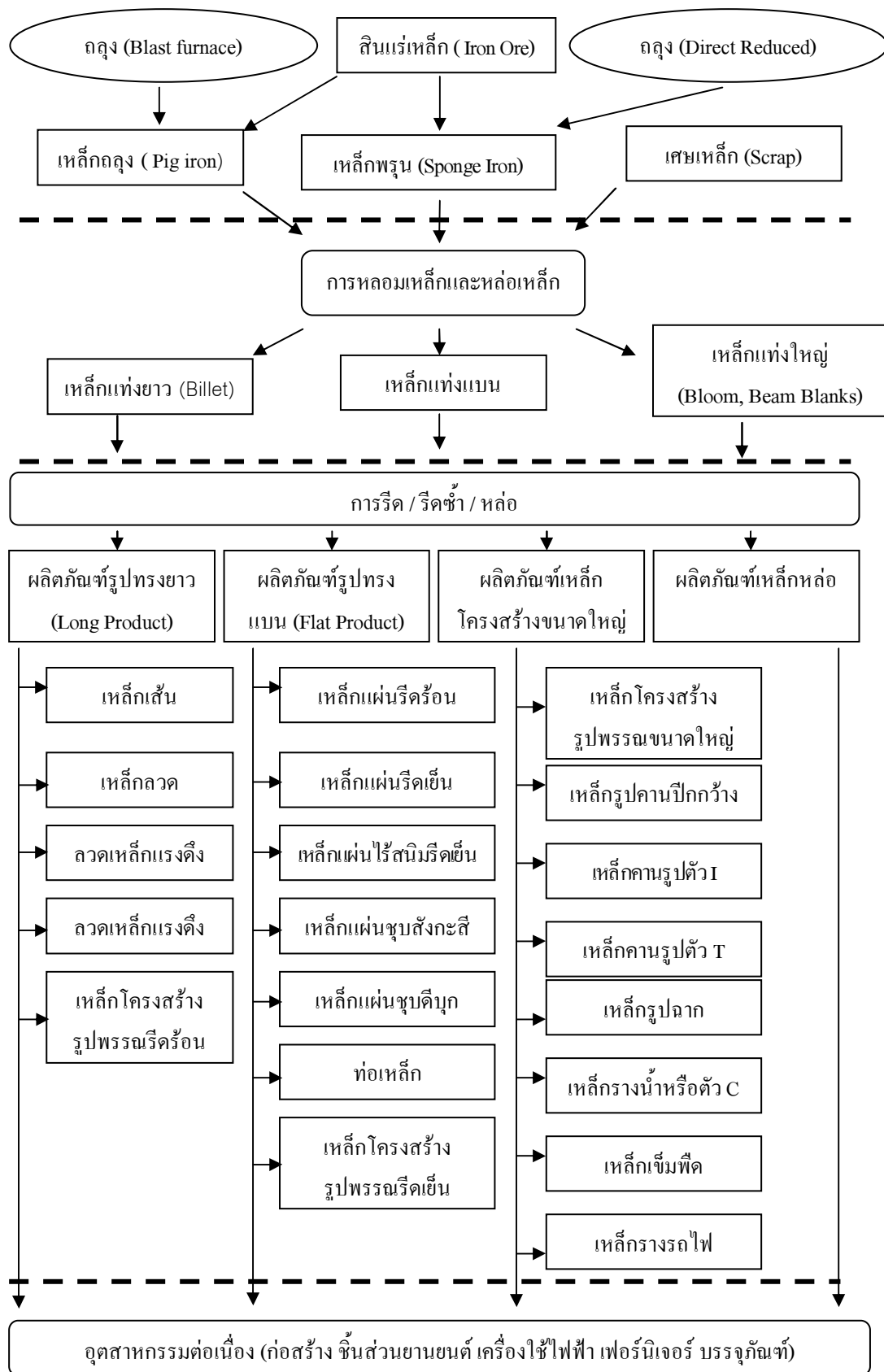
ที่มา: ณรงค์ (2540)



ภาพที่ 2 ความสามารถในการละลาย (Solubility) ของเหล็กที่พิสูจน์ (pH) ของน้ำต่างๆ กัน
ที่มา: Cornell and Schwertmann (1996)

1. การผลิตเหล็ก

เหล็กที่อยู่ในธรรมชาติเป็นสินแร่เหล็ก (Iron Ore) ซึ่งอยู่ในรูปของเหล็กออกไซด์ เหล็กชัลไฟด์ หรือเหล็กคาร์บอนเนต การนำมาใช้ประโยชน์ต้องผ่านกระบวนการต่างๆ โดยเริ่มจากการผลิตสินแร่เหล็ก (Iron Ore Production) การผลิตเหล็ก (Iron Production) การผลิตถ่านโค้ก (Coke Production) การหกอบปูรุ่งแต่งเหล็กและหล่อเหล็กแท่ง (Steel Making) การรีดเหล็ก (Rolling Mill) โครงสร้างการผลิตของอุตสาหกรรมเหล็ก ดังแสดงในภาพที่ 3



ภาพที่ 3 โครงการสร้างการผลิตของอุตสาหกรรมเหล็ก

ที่มา: สำนักงานเศรษฐกิจอุตสาหกรรม (2545)

2. การผลิตสินแร่เหล็ก

การผลิตสินแร่เหล็กเริ่มตั้งแต่การนำสินแร่เหล็กขึ้นมาจากพื้นดิน เรียกว่าการทำเหมืองแร่เหล็ก (Iron Ore Mining) มี 2 ลักษณะ คือ การทำเหมืองแบบเปิด (Open-Pit Mining) โดยการขุดเปิดผิวน้ำดินจนถึงชั้นแร่เหล็กแล้วขุดตักสินแร่เหล็ก และ การทำเหมืองแบบใต้ดิน (Under Ground Mining) เป็นการทำเหมืองแบบเจาะเป็นอุโมงค์ลงไปใต้พื้นดินจนถึงชั้นสินแร่ จึงทำการขุดนำสินแร่ขึ้นมา จากนั้นจะทำการเตรียมสินแร่ (Ore Preparation) บดย่อยสินแร่ (Crushing and Grinding) ทำการคัดแยกสิ่งเจือปนและปรุงแต่งสินแร่ให้เข้มข้น (Ore Concentration) เมื่อแยกได้สินแร่เหล็กที่บดขยี้ละเอียดแล้ว จะนำมาปรุงแต่งสินแร่เหล็กโดยการผสมปูนขาว ถ่านโค้ก ฝุ่นจากเตาถุง และน้ำ และทำให้เป็นก้อน (Agglomeration)

3. การผลิตถ่านโค้ก

ถ่านโค้กมีความจำเป็นในการถุงแร่เหล็ก องค์ประกอบของถ่านโค้กเป็นคาร์บอนซึ่งจะทำปฏิกิริยากับออกซิเจนและให้ความร้อนออกมายield ลดออกซิเจน (Reducing Agent) ที่อยู่ในแร่เหล็กซึ่งเกิดปฏิกิริยาลดักชัน (Reduction) การผลิตถ่านโค้กมาจากการอบหรืออกถั่นสลายถ่านหิน (Destructive Distillation of Coal) โดยการผ่านความร้อนที่อุณหภูมิสูง 1,350 องศาเซลเซียส ไปยังถ่านหินในสภาพที่ไม่มีออกซิเจนเพื่อกำจัดสารอินทรีที่ระยะไนโตริกที่เจือปนอยู่ในถ่านหินอยู่ประมาณร้อยละ 20-30 เรียกว่า กระบวนการคาร์บอนไนเซชัน (Carbonization) เริ่มจากการนำถ่านหินที่จะทำถ่านโค้กที่มีขนาดประมาณ 0.5 เซนติเมตร ใส่ลงไปในเตาอบถ่านโค้กโดยใช้ก๊าซร้อนจากกระบวนการถุงแร่เหล็ก (Blast Furnace) หรือความร้อนจากการผลิตถ่านโค้กเอง หรืออาจใช้ทั้งสองร่วมกัน

4. การถุงเหล็ก

การถุงเหล็กเป็นกระบวนการทำให้สินแร่เหล็กเป็นเหล็ก โดยการลดออกซิเจน เป็นปฏิกิริยา (Reduction) มีวิธีการถุงเหล็ก คือ การถุงโดยเตาพ่นลม (Blast Furnace) เป็นการถุงโดยให้ความร้อนสินแร่เหล็กจนหลอมละลาย ออกซิเจนในสินแร่เหล็กจะถูกดึงออก (Reduce) ด้วยก๊าซคาร์บอนมอนอกไซด์ ซึ่งได้จากการเผาถ่านโค้ก ส่วนสารปนเปื้อน (Impurities) อื่นๆ ที่ปะปน

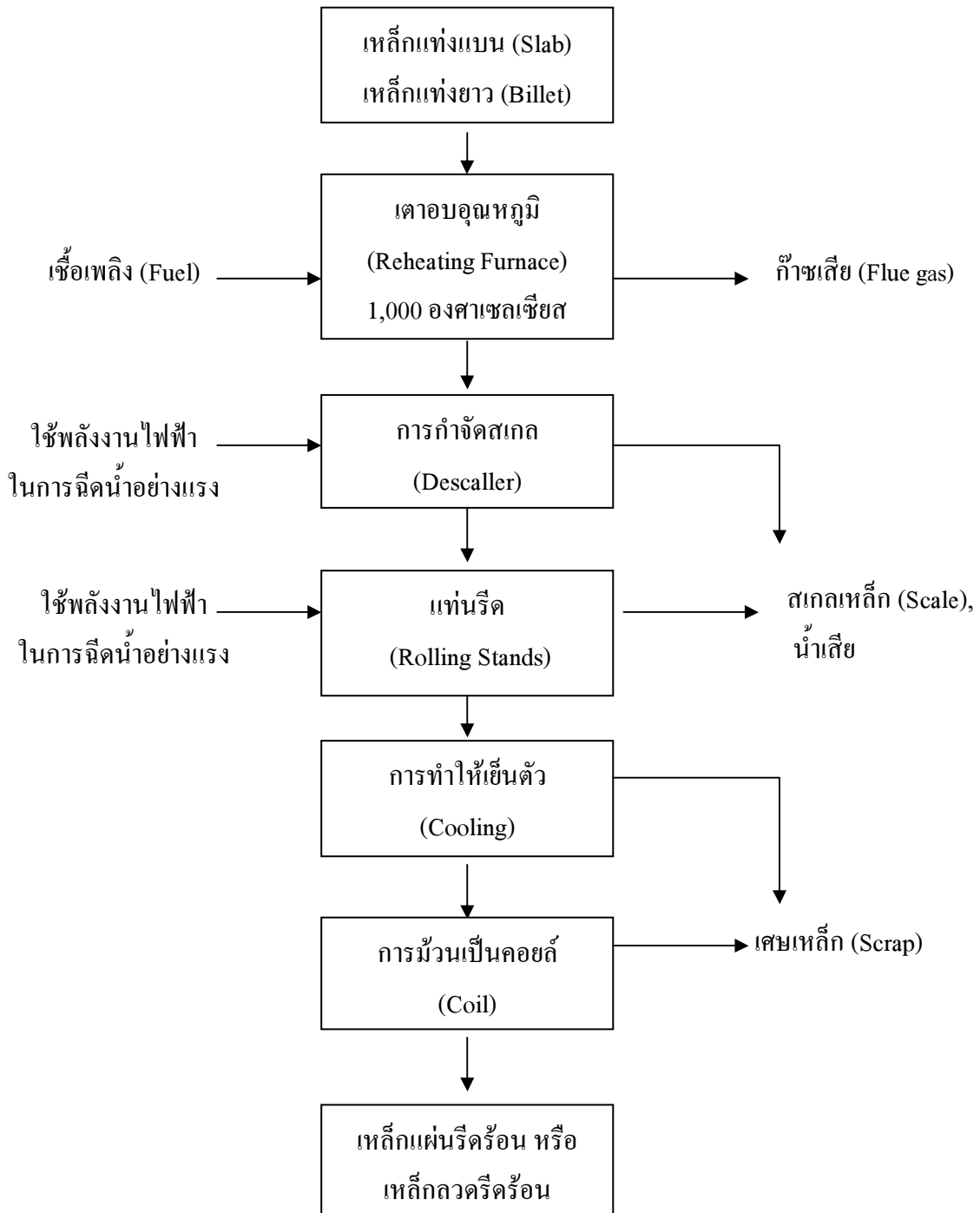
มากับสินแร่ จะทำปฏิกิริยากับหินปูนที่ใส่เข้าไปเพื่อเปลี่ยนสารปูนเป็นไห้อู่ในรูปของตะกรัน เรียกว่า Slag เหล็กที่ผลิตได้จากวิธีนี้มีชื่อเรียกว่า เหล็กดิบ หรือ เหล็กกลุง

5. การหลอมปูงแต่งเหล็ก และหล่อเหล็กแท่ง

ขั้นตอนการปูงแต่ง เหล็กดิบ เหล็กพรุน หรือเศษเหล็ก ให้มีคุณสมบัติที่เหมาะสมที่จะนำไปใช้ประโยชน์ ควบคุมปริมาณธาตุต่างๆ ที่เจือปนไห้อู่ในปริมาณที่จำกัดเพื่อให้เหล็กมีคุณสมบัติ ตามที่ต้องการ เช่น ทำให้จุดหลอมเหลวของเหล็กต่ำลง ทำให้แข็ง (Hardness) ความerasible (Brittleness) ความแข็งแรง (Strength) ความทนทานต่อการเสียดสี หรือการสกัดหรือ กรรมวิธี การปูงแต่งเหล็ก (Steel Making Process) เป็นขั้นตอนการลดปริมาณคาร์บอนไห้อู่ในปริมาณที่ต้องการ และกำจัดสารมลพิษต่างๆ เช่น ฟอสฟอรัส ซิลิคอน แมงกานีส และธาตุต่างๆ ในเหล็กดิบ หรือเหล็กพรุนออกໄไป และมีการเติมเหล็กผสมธาตุ (Ferroalloy) บางชนิดลงไปในการผลิต เพื่อให้ได้เหล็กที่มีคุณสมบัติที่ต้องการ เมื่อทำการหลอมละลายเหล็กและปูงแต่งเหล็กให้มีคุณสมบัติโดยการผสมธาตุต่างๆ ตามที่ต้องการแล้ว นำเหล็กเหลวจะเทลงในแบบหล่อต่อต่างๆ เช่น แบบแท่งยาว (Billet) หรือแบบแผ่น (Slab) เพื่อส่งเป็นวัสดุดิบในกระบวนการรีดเหล็กต่อไป สำหรับกรรมวิธีการผลิตที่ใช้กันอยู่โดยทั่วไปมีหลายแบบ เช่น Open Hearth Furnace, Electric Furnace และ Basic Oxygen Furnace

6. การรีดเหล็ก

การรีดเหล็กเป็นการใช้พลังงานก่อในการรีดลดขนาด โดยมีหลักการ คือ การให้ความร้อนกับเหล็กแท่งแบบหรือเหล็กแท่งยาว ให้มีอุณหภูมิประมาณ 1,000 องศาเซลเซียส โดยเตาอบเหล็กแท่ง (Reheating Furnace) เพื่อลดความเครียดและให้เหล็กอ่อนตัวรีดได้ง่าย จากนั้นแท่งเหล็กจะเข้าสู่กระบวนการรีดลดขนาด (Rolling Mill) โดยใช้มอเตอร์ไฟฟ้าไปขับแท่งรีดต่อต่างๆ เมื่อได้ตามขนาดที่ต้องการ จะทำให้เย็นตัวลง (Cooling) และทำให้เป็นม้วนหรือคอily (Coil) เหล็กแท่งแบบ (Slab) หรือเหล็กแท่งยาว (Billet) ที่ได้จากการหลอมปูงแต่งเหล็กและหล่อเหล็ก จะถูกนำมารีดเพื่อให้เป็นผลิตภัณฑ์ตามที่ต้องการ โดยเหล็กแท่งแบบจะถูกรีดเป็นเหล็กแผ่น เหล็กแท่งยาวจะรีดได้เป็นเหล็กกลวง เหล็กเส้น ดังแสดงภาพที่ 4



ภาพที่ 4 ขั้นตอนการผลิตเหล็กรีดร้อน

7. ผลกระทบทางของเสียที่เกิดจากอุตสาหกรรมเหล็ก

อุตสาหกรรมเหล็กมีผลพิษหรือภาคของเสียที่เกิดขึ้นเกือบทุกขั้นตอนของการผลิตเหล็ก โดยเฉพาะก๊าซเสียและน้ำเสีย นับตั้งแต่ขั้นตอนการนำสินแร่ขึ้นมาจากพื้นดิน การผลิตถ่านโค้ก การถุง การหลอมหล่อเหล็ก และการรีด ดังแสดงในตารางที่ 3 และ 4

ตารางที่ 3 อาณาเขตที่เกิดจากอุตสาหกรรมผลิตเหล็กครบวงจร

ประเภทอากาศเสีย	แหล่งที่เกิด
ฝุ่น (Particulates)	ปล่องของหม้อน้ำ (Stack of Boiler Plant) เตาถุง (Steel Making Furnace) โรงเตรียมสินแร่ และปั่นแร่ (Ore Preparation, Sinter Plant, Slag Plant)
ก๊าซเสีย (Flue Gases)	การเผาหัวมันเตาทุกชนิด ในเตาถุงแบบ Blast Furnace ในเตาถุงแบบ Blast Furnace และเตาเผาถ่านหิน เตาหลอมเหล็ก (Steel Making Furnace) โรงงานแยกผลพลอยได้จากการผลิตถ่านโค้ก
สารประกอบชัดไฟฟอร์	
คาร์บอนมอนอกไซด์	
ไนโตรไซยาไนด์	
ฟลูออไรด์	
สารเบนซีน (Benzene)	

ที่มา: Hebert F. (1971)

ตารางที่ 4 น้ำเสียที่เกิดจากอุตสาหกรรมผลิตเหล็กครบวงจร

สิ่งที่ปะปนในน้ำเสีย	แหล่งที่เกิด
<u>น้ำมัน :</u>	
Rolling Oils	Rolling mill, น้ำมันที่ใช้กับแท่นรีด
Lubricants	น้ำมันหล่อลื่นทุกชนิดที่ใช้เครื่องจักรทุกชนิด
Hydraulic Oil	น้ำมันที่ใช้กับปั๊มทุกชนิดที่มีแรงกด
Quench Oil	Heat Treatment, น้ำมันที่ใช้ในกระบวนการแอกเปลี่ยนความร้อน
Fuel Oil	หม้อต้มน้ำ (Boiler Plant), เตา (Furnace)
Solvent	การผสมสีที่ใช้ในโรงงาน
Tar and Pitch	โรงงานผลิตถ่านโค้ก โรงงานแยกผลผลิตจากการผลิตถ่านโค้ก
<u>สารแขวนคลอย :</u>	
Scale	Rolling Mills
Sand	Foundry
Fly Ash	เตาเผาถ่านหิน
Coal and Coke	โรงงานผลิตถ่านโค้ก
<u>สารเคมี :</u>	
Acid Sludge	โรงงานผลิตผลผลอยได้จากถ่านโค้ก
Caustic Wash	โรงงานผลิตผลผลอยได้จากถ่านโค้ก
Brine (น้ำเกลือ)	ในขั้นตอนการผลิตน้ำที่ผ่านเครื่องกรอง
Cleaners	นำถังโรงงาน, ถังไขมัน
สารเคมีอันตราย	โรงงานผลิตถ่านโค้ก
<u>ความร้อน :</u>	
น้ำหล่อเย็น	ในเตาถุง กระบวนการแยกเปลี่ยนความร้อน การหล่อเย็นถุงรีด

ที่มา: Hebert F. (1971)

ออกไซด์ของโลหะไฮดรัส

ออกไซด์ของธาตุเหล็กนิด เซ่น ชิลกอน อลูมิเนียม และเหล็กเป็นสิ่งที่มีอยู่มากมาย และพบได้ทั่วไปตามเปลือกโลก ออกไซด์เหล่านี้ถูกกล่าวอ้างว่าเป็นสาเหตุของการล้มเหลวของโครงสร้างทางสถาปัตยกรรม เช่น สะพาน สะพาน ถนน และแม่น้ำ โดยทั่วไปจะเกิดไฮดรอกซิลิกอนในรูปแบบพิษ (Anderson and Rubin, 1981)

1. รูปแบบของหมู่ไฮดรอกซิลที่ผิวสัมผัสของออกไซด์และน้ำ

จากการเกิดความไม่สมดุลของแรงทางเคมีที่ผิวสัมผัสของออกไซด์และน้ำเกิดจากการดูดซับทางเคมี (Chemisorbing) กับโนเมเกลุกของน้ำและเกิดเป็นหมู่ไฮดรอกซิลที่พื้นผิวนอกจากนี้ยังเกิด Hydrogen bond ระหว่างหมู่ไฮดรอกซิลกับโนเมเกลุกของน้ำเกิดเป็นชั้นของการดูดซับทางกายภาพ (Physical Absorbent Water) ความแตกต่างของรูปแบบที่หลากหลายของไฮดรอกซิลเป็นผลทำให้เกิดปฏิกิริยาเคมีที่แตกต่างกัน

2. ความเข้มข้นของหมู่ไฮดรอกซิลที่พื้นผิวออกไซด์

การหาความเข้มข้นของหมู่ไฮดรอกซิลของ $\text{Al}-\text{Fe}_2\text{O}_3$ สามารถทำโดยวิธี BET Treatment ของการดูดซับโดยก้าชในไตรเจน ค่าความเข้มข้นของหมู่ไฮดรอกซิลเท่ากับ $5.5 \text{ ต่อ } 100 (\text{Å}^0)^2$ นอกจากนี้จำนวนหมู่ไฮดรอกซิลของเหล็กออกไซด์ ยังมีอัตราเกิด Hydroxyl (Hydroxylation) เกิดได้อย่างรวดเร็ว (Anderson and Rubin , 1981)

3. ภูมิสมบัติของไฮดรัสเฟอร์ริกออกไซด์

3.1 โครงสร้างและส่วนประกอบ

ไฮดรัสเฟอร์ริกออกไซด์หรือที่เรียกว่า Amorphous Ferric Hydroxide และ Amorphorus Iron Oxyhydroxide ภายใต้การไฮโดรไรซ์และการละลาย (Fe (III)) ที่อุณหภูมิ 20-30 องศาเซลเซียส จะเกิดการตกตะกอนเป็นของแข็งอย่างรวดเร็ว ไฮดรัสเฟอร์ริกออกไซด์ที่ตกตะกอนใหม่ๆ มีรูปร่างค่อนข้างกลมและเล็ก ขนาดเส้นผ่านศูนย์กลางอยู่ในช่วง 1 ถึง 10 นาโนเมตร และเมื่อเวลาผ่านไปจะเกิดการรวมตัวกันให้มีขนาดใหญ่ขึ้น แต่เนื่องด้วยตะกอนที่เกิดมีรูปรุนสูงมากจึงมี

น้ำรวมอยู่ในโครงการสร้างจำนวนมากจึงมีลักษณะเหมือนเจลมากกว่าของแข็ง (Dzombak and Morel, 1990)

Dzombak and Morel (1990) กล่าวว่าของแข็งไฮดรัสเฟอร์ริกออกไซด์มีรูปร่างไม่แน่นอน โดยทั่วไปจะเป็นสูตรทางเคมีเป็น $\text{Fe}_2\text{O}_3 \cdot n\text{H}_2\text{O}$ โดยส่วนประกอบของแข็งไฮดรัสเฟอร์ริกออกไซด์จะเปรค่าอยู่ระหว่าง $\text{Fe}_2\text{O}_3 \cdot 3\text{H}_2\text{O}$ ถึง $\text{Fe}_2\text{O}_3 \cdot 1\text{H}_2\text{O}$ จากการวัดค่าความหนาแน่นของไฮดรัสเฟอร์ริกออกไซด์จะมีอยู่ระหว่าง 2.2 ถึง 4.0 กรัม / คบ.ซม. และมีค่าเฉลี่ยประมาณ 3.5 กรัม / คบ.ซม.

ในกระบวนการบ่ม (Aging) สารละลาย Fe (II) ที่อุณหภูมิ 20-30 องศาเซลเซียส ไฮดรัสเฟอร์ริกออกไซด์จะเปลี่ยนรูปเป็นผลึกของเหล็กออกไซด์ โดยทั่วไปจะอยู่ในรูปของ Goethite ($\alpha-\text{FeOOH}$) อัตราการเกิดผลึกเหล็กออกไซด์ จะเกิดเร็วขึ้นในสารละลายที่มี Fe (III) และ pH สูง (Dzombak and Morel, 1990)

3.2 พื้นที่ผิวของไฮดรัสเฟอร์ริกออกไซด์

การวัดขนาดของพื้นที่ผิวของไฮดรัสเฟอร์ริกออกไซด์ สามารถทำโดยวิธีเคราะห์ของ BET ใช้การดูดซับโดยก๊าซไนโตรเจน เป็นวิธีที่ได้รับความนิยมมากที่สุด แต่เนื่องจากวิธีนี้ไม่ค่อยเหมาะสมที่จะใช้กับวัสดุที่มีรูพรุนดังเช่นเฟอร์ริกออกไซด์ ทำให้ผลที่ได้มีค่าค่อนข้างต่ำ (Dzombak and Morel, 1990) ขนาดพื้นที่ผิวในทางทฤษฎีที่ได้จากการคำนวณมีค่าเท่ากับ 840 ตร. ม./กรัม ของไฮดรัสเฟอร์ริกออกไซด์ อย่างไรก็ตามค่าที่แนะนำให้นำไปใช้งานคือ 600 ตร.ม./กรัม

4. การดูดซับของไฮอนที่ผิวสัมผัสของโลหะไฮดรัสออกไซด์ในน้ำ

ออกไซด์ของธาตุเหล่านิด เช่น ชิลิกอน อลูมิเนียม และเหล็ก คุณลักษณะที่สำคัญในการดูดซับไฮอนต่างๆที่มีอยู่ในสารละลาย ซึ่งสามารถพบได้โดยทั่วไปในดิน ในน้ำและในชั้นตะกอน และรูปแบบอื่นๆในทางธรณีวิทยา

4.1 การดูดซับของประจุบวก

ไอออนของโลหะประจุบวกนอกจากจะรวมตัวกับหมู่ไฮดรอกซิลที่อยู่ในน้ำแล้ว ยังสามารถจับชิ้นส่วนของพื้นผิวไฮดรัสออกไฮด์ได้ด้วย (Dzombak and Morel, 1981) สำหรับโลหะทรายสีขาว ส่วนใหญ่จะถูกดูดซับเพิ่มจากศูนย์ไปถึงเกือบ 100 % ในช่วงพีอชแคบๆ เป็นที่ทราบโดยทั่วไปจะคุ้งกับการปล่อย H^+ (หรือเรียกว่าการดูดซับของ OH^-) แต่ Net Stoichiometry ของกระบวนการดูดซับยังเป็นที่เข้าใจน้อย ประจุบวกและประจุลบที่ถูกดูดซับบนพื้นผิวออกไฮด์จะมีผลตอบสนองทั้งแรงผลักทางไฟฟ้าสถิตย์ได้ ซึ่งชี้ให้เห็นว่าโครงร่างเดินเที่ยวของไอออนโลหะที่ทำปฏิกิริยากับหมู่ไฮดรอกซิลที่พื้นที่ผิวมีความสำคัญอย่างมาก (Stumm *et al.*, 1976) ไอออนโลหะเหล่านี้เป็นกรดอ่อน และแนวโน้มที่จะทำปฏิกิริยากับหมู่ไฮดรอกซิลที่พื้นผิว การดูดซับของประจุบวกโดยเหล็กไฮดรัสออกไฮด์พบว่าเกือบจะไม่มีผลกับ Ionic Strength เลยถึงแม้ว่าการดูดซับของประจุบวกบนไฮดรัสออกไฮด์อื่นๆ เช่น Quartz, Titania และ Clay minerals บางอย่างอาจจะมีผลกับ Ionic Strength บ้าง ส่วนประจุบวกที่มีการดูดซับที่ไม่แข็งแรง (กรดแก๊ส) เช่น ไอออนของธาตุ IIA (Ca^{2+} , Mg^{2+} , Ba^{2+}) โดยทั่วไปจะเกิดแรงขึ้นเมื่อยางแบบโคราเลนต์และการดูดซับของไอออนเหล่านี้จะมีผลกับแรงไฟฟ้าสถิตย์ และ Ionic Strength ด้วย นอกจากนี้ยังมีการศึกษาเกี่ยวกับผลของอุณหภูมิที่มีต่อการดูดซับ โดยทั่วไปพบว่าการดูดซับของประจุบวกสองจะเพิ่มขึ้นเมื่ออุณหภูมิสูงขึ้น

5. สมดุลการดูดซับสำหรับโลหะและลิแกนด์บนพื้นผิวออกไฮด์

Stumm and Morgan (1995) พบว่าสมดุลของความเป็นกรด-ด่าง ไม่เพียงแต่จะมีผลเป็นพิเศษต่อโลหะในการละลาย ยังมีผลถึงประจุที่พื้นผิวออกไฮด์ด้วย การมีอยู่ของลิแกนด์สามารถเพิ่มหรือลดความสามารถการดูดซับ โดยที่มีอยู่กับชนิดของโลหะและลิแกนด์ ชนิดของสารที่ใช้ในการดูดซับและพีอช ดังแสดงไว้ในตารางที่ 5

ตารางที่ 5 สมการดูดซับของ Surface Complexation

Acid-Base Equilibrium for Surface	Reactions
$S-OH + H^+ \rightleftharpoons S-OH_2^+$	
$S-OH + OH^- \rightleftharpoons S-O^- + H_2O$	
<hr/>	
Metal-binding (M^{Z+} = metal)	
$S-OH + M^{Z+} \rightleftharpoons S-OM^{(Z-1)+} + H^+$	
$2 S-OH + M^{Z+} \rightleftharpoons S-O^- + H_2O$	
$S-OH + M^{Z+} + H_2O \rightleftharpoons S-OMOH^{(Z-2)+} + 2H$	
<hr/>	
Ligand Exchange (L^- = Ligand)	
$S-OH + L^- \rightleftharpoons S-L + OH^-$	
$2 S-OH + L^- \rightleftharpoons S-L^+ + 2 OH^-$	
<hr/>	
Ternary surface Complex Formation	
$S-OH + L^- + M^{Z+} \rightleftharpoons S-L + M^{(Z)+} + OH^-$	
$S-OH + L^- + M^{Z+} \rightleftharpoons S-OM-L^{(Z-2)+} + 2H^+$	

หมายเหตุ $S-OH$ Oxide Surface

ที่มา: Stumm and Morgan (1995)

แคดเมียม

โลหะหนัก (Heavy Metal) หมายถึง โลหะที่มีความหนาแน่นตั้งแต่ 5 กรัมต่อลูกบาศก์ เช่นติเมตรขึ้นไป มีเลขอะตอมอยู่ระหว่าง 23-92 ภายในควบคุมที่ 4-7 ของตารางธาตุ โลหะหนักมีสถานะเป็นของแข็ง ยกเว้นprotoที่เป็นของเหลวที่อุณหภูมิปกติ คุณสมบัติทางกายภาพของโลหะหนักคือ นำไฟฟ้า และนำความร้อนได้ดี มีความมั่นคง สามารถตีเป็นแผ่นบางๆได้ ส่วนคุณสมบัติทางเคมีด้านอื่นๆ เป็นสารเชิงซ้อนได้หลายรูปที่ เสียกว่าโลหะอิสระ โดยเฉพาะอย่างยิ่งเมื่อรวมตัวกับสารประกอบอินทรีย์ ดังนั้น โลหะหนักเกิดการแพร่กระจายสู่สิ่งแวดล้อม โดยการปนเปื้อนในดิน น้ำ อากาศ และผลิตผลทางการเกษตร จะเกิดการสะสมและถ่ายทอดสู่มนุษย์ได้โดยผ่านไปตามห่วงโซ่ออาหาร เมื่อสะสมอยู่ในเนื้อเยื่อจนถึงระดับหนึ่งจะก่อให้เกิดโรคหรือความพิการจนอาจถึงตายได้ (เกศฤชา, 2537)

โลหะหนักที่ทำการศึกษาวิจัยนี้ได้แก่ แคดเมียม ซึ่งมีคุณสมบัติทางกายภาพ คุณสมบัติทางเคมี การนำไปใช้ประโยชน์ การแพร่กระจายสู่สิ่งแวดล้อม และความเป็นพิษ ดังนี้

1. คุณสมบัติทางกายภาพและทางเคมี

แคดเมียมเป็นธาตุที่อยู่ในกลุ่มโลหะtranstition ที่มีคุณสมบัติทางกายภาพ คุณสมบัติทางเคมี การนำไปใช้ประโยชน์ การแพร่กระจายสู่สิ่งแวดล้อม และความเป็นพิษ ดังนี้

แคดเมียม เป็นโลหะหนัก มีสีขาว พื้น ขาว มีลักษณะเนื้ออ่อน สามารถบิดโค้งงอได้ และถูกตัดได้ง่ายด้วยมีด มักอยู่ในรูปแท่ง แผ่น เส้นคลอด หรือเป็นผงเม็ดเล็กๆในอากาศที่มีความชื้น แคดเมียมจะถูกออกซิไดซ์เป็นแคดเมียมออกไซด์ ในธรรมชาติแคดเมียมมักจะอยู่ร่วมกับกัมมาถันในรูปแคดเมียมชัลไฟด์ และมักปนอยู่ในสินแร่สังกะสี ตะกั่ว หรือทองแดง ดังนั้น ในการทำเหมืองแร่สังกะสีจะได้แคดเมียมซึ่งเป็นผลพลอยได้ (By Product) มีการนำโลหะแคดเมียมมาใช้ในวัสดุ แผ่นพลาสติกและแก้ว เป็นส่วนผสมของ amalgam ที่ใช้ในร้านทันตแพทย์ พลิตกัณฑ์ที่มีแคดเมียมเป็นส่วนประกอบถ้าให้ความร้อนเกินจุดหลอมเหลว (321 องศาเซลเซียส) จะเกิดควันของแคดเมียม (Cadmium Flumes) การนำเอาแคดเมียมมาใช้ทำให้เกิดการปนเปื้อนของแคดเมียมในสิ่งแวดล้อม ทั้งในอากาศ น้ำ และดิน รวมทั้งในอาหาร เมื่อมากๆจะเกิดการสะสม

โดยเฉพาะมนุษย์และสัตว์ ถ้ามีการสะสมของแคนเดเมียมในร่างกายมากอาจก่อให้เกิดพิษได้ (สุวัจน์, 2549)

ตารางที่ 6 แสดงคุณสมบัติโดยทั่วไปของแคนเดเมียม

คุณสมบัติ	คุณสมบัติ
สัญลักษณ์	Cd
เลขอะตอม	48
โครงสร้างผลึก	Close-Packed Hexagonal
น้ำหนักอะตอม	112.41
ความหนาแน่น (กรัม/ลบ.ซม. ที่ 20 °ช)	8.65
จุดหลอมเหลว (°ช)	320.9
จุดเดือด (°ช)	765
ความร้อนแผงของการหลอมเหลว(แคลอรี/กรัม)	13.2
ความร้อนแผงของการเป็นไอ(แคลอรี/กรัม)	286.4
สถานะออกซิเดชัน	+2
สี	ขาว เงิน

ที่มา : Townshend (1995)

แคนเดเมียมสามารถพบโดยทั่วไปในธรรมชาติ อยู่รวมกับธาตุสังกะสี (Zinc) ตะกั่ว (Lead) และคอปเปอร์ชัคไฟด์ (Copper Sulfide) ในชั้นเปลือกโลหะมีแคนเดเมียมเป็นองค์ประกอบอยู่ประมาณ 0.2 ppm ในหินอัคนี (Igneous Rocks) พบรูปแคนเดเมียมอยู่ในระดับต่ำ (<0.001-1.6 ppm) แต่ในหินตะกอน (Sedimentary Rock) พบรูปแคนเดเมียมอยู่ในระดับสูง เนื่องจากหินตะกอนมีองค์ประกอบของสารอินทรีย์ ก้อนแร่ แมงกานีส (Manganese Nodule) และแร่ฟอฟฟอไรต์ (Phosphorite) แคนเดเมียมจะพบมากในวัสดุที่มีสารอินทรีย์เป็นองค์ประกอบสูง เช่น ในถ่านหิน พบรูปแคนเดเมียม 0.01-22 ppm และในน้ำมันดิบ พบรูปแคนเดเมียม 0.01-16 ppm (Fergusson, 1990)

2. แคดเมียมในน้ำ

พฤติกรรมของชาตุแคดเมียมในสิ่งแวดล้อมจะมีลักษณะคล้ายกับชาตุสังกะสี แคดเมียมสามารถรวมตัวกับไฮอนชนิดอื่นอยู่แล้วในรูปสารประกอบ ซึ่งมีอยู่ 4 ชนิดหลัก คือ แคดเมียมไฮไดด์ (Cadmium Halide) แคดเมียมซัลไฟด์ (Cadmium Sulphide) แคดเมียมออกไซด์ (Cadmium Oxide) และสารประกอบออร์แกโนแคดเมียม (Organocadmium Compound) รูปแบบแต่ละชนิดจะขึ้นอยู่กับพิอ็อช (pH) รูปแบบของแคดเมียมยังสามารถพบในรูปของสารประกอบอื่นๆ ได้แก่ CdO, CdS, Cd(OH)₂, CdCO₃ และ CdSiO₃ แต่มีความสามารถละลายน้ำได้น้อย (สุวัจน์, 2549)

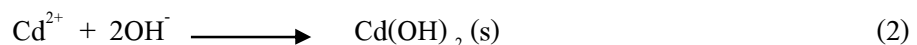
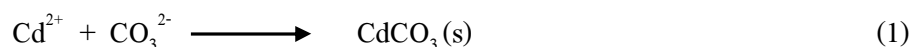
2.1) แคดเมียมไฮไดด์ (Cadmium Halide) มีอยู่ 4 ชนิด แต่ในรูปแคดเมียมคลอไรด์ (Cadmium Chloride : CdCl₂) เป็นรูปแบบที่สำคัญในสิ่งแวดล้อม รูปแบบที่พบมาก คือ CdCl⁺, CdCl₂ และ CdCl₃⁻ และประมาณร้อยละ 2.5 เปอร์เซ็นต์ ของแคดเมียมทั้งหมดจะพบในรูปของแคดเมียมไฮอนอิสระ (Free Cadmium Ion : Cd⁺²) (Fergusson, 1990) อาย่างไรก็ตาม รูปแบบของแคดเมียมไฮไดด์ จะสามารถละลายในน้ำและเกิด Complex Ions

2.2) แคดเมียมซัลไฟด์ (Cadmium Sulphide) สารประกอบแคดเมียมในรูปนี้เกิดขึ้นโดยการผ่านไฮโดรเจนซัลไฟด์ (H₂S) ลงในสารละลายแคดเมียม (Cd (II)) ไฮอน ของ Cd⁺² และ S²⁻ สามารถรวมตัวได้เป็นอย่างดี ทั้งนี้ เนื่องจากเป็นไฮอนแบบมีข้อ สารประกอบที่เกิดขึ้นสามารถละลายน้ำได้น้อยมาก แคดเมียมซัลไฟด์มักจะเป็นรูปแบบที่ค่อนข้างคงที่ และมักพบในสภาพแวดล้อมแบบรีดกัน

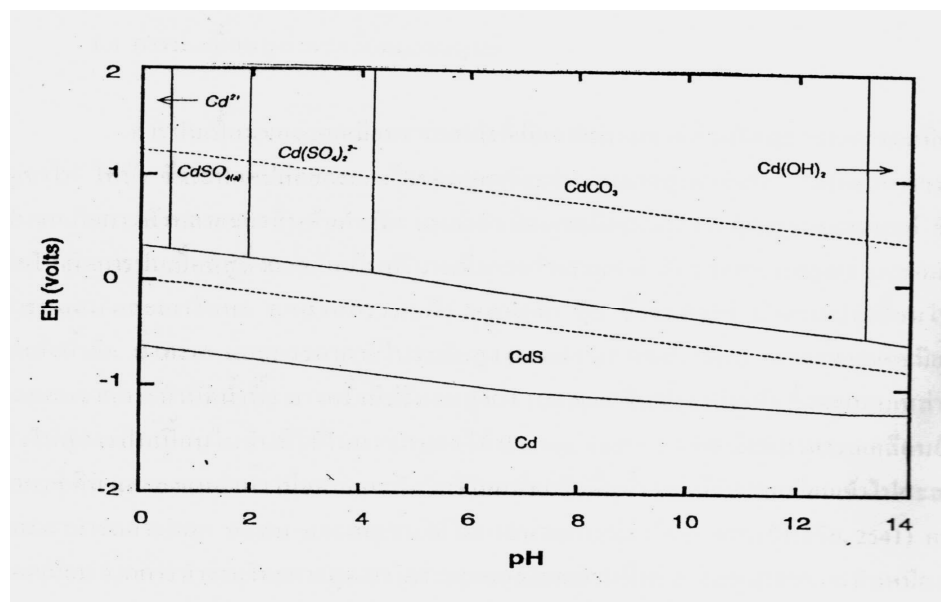
2.3) แคดเมียมออกไซด์ (Cadmium Oxide) รูปแบบของแคดเมียมออกไซด์เกิดจากปฏิกิริยาออกซิเดชันชาตุแคดเมียมที่สัมผัสกับอากาศเป็นเวลานาน โดยสีของออกไซด์ที่เกิดขึ้นอาจมีสีที่แตกต่างกัน จากสีเขียว สีเหลือง และสีแดง บางครั้งอาจมีสีดำ โครงสร้างของแคดเมียมออกไซด์มีลักษณะคล้ายกับโซเดียมคลอไรด์ สามารถเปลี่ยนแปลงรูปได้เมื่อถูกความร้อน เนื่องจาก การสูญเสียออกซิเจน แคดเมียมออกไซด์จะละลายในกรด แต่ละลายได้น้อยในน้ำและในสภาพเป็นด่าง (Fergusson, 1990)

2.4) สารประกอบออร์กานิคแอดเมียม (Organocadmium Compound) สารประกอบดังกล่าวสามารถได้จากการเตรียม Grignard Reagent ในสภาพที่เหมาะสม เช่น การต้ม Dimethylcadmium ที่ 105.7 องศาเซลเซียส และ Dimethylcadmium ที่ 64 องศาเซลเซียส ภายใต้ความดัน 19 มิลลิเมตร-ปัจจุบัน สารประกอบดังกล่าวสามารถถ่ายตัวได้ในแหล่งน้ำ

Faust and Aly 1987 รายงานว่าแอดเมียมเมื่อยู่ในน้ำจะอยู่ในรูป Cd^{2+} $\text{CdCO}_3(\text{s})$ และ $\text{Cd(OH)}_2(\text{s})$ ตั้งสมการที่ (1) และ (2)



โดยค่า pH สูงกว่า 10 ซึ่ง CdCO_3 สามารถละลายน้ำได้ประมาณ 300 ไมโครกรัมต่อลิตร และที่ pH เท่ากับ 10 Cd(OH)_2 ละลายน้ำได้ประมาณ 225 ไมโครกรัมต่อลิตร แต่หากมีการละลายของก๊าซคาร์บอนไดออกไซด์ลงสู่น้ำเพิ่มขึ้นจะทำให้แอดเมียมไฮดรอกไซด์และแอดเมียมคาร์บอเนตที่ตกลงกันอยู่จะเปลี่ยนรูปและสามารถละลายกลับขึ้นมาสู่น้ำได้อีก สำหรับแหล่งน้ำที่มีชักเพอร์ออกไซด์เกิด Reducing Condition แอดเมียมจะอยู่ในรูปของสารประกอบชั้ลไฟฟ์ดังภาพที่ 5 (Smith, 1995)



ภาพที่ 5 แสดงขอบเขตสถานะของแคนดเมียมในน้ำที่มีชัลเฟอร์และการบ่อนค

(Sulfur Carbonate Water System) $Cd=0.001\text{ M}$; $S = 0.1\text{ M}$; $C = 0.1\text{ M}$.

ที่มา: Faust and Aly (1987)

แคนดเมียมในรูป Hydrated Cd^{2+} มักพบในสภาพออกซิเดชัน โดยเฉพาะสภาพแวดล้อมโดยทั่วไปในแหล่งน้ำจืด และน้ำที่มีระดับความเค็มต่ำ แต่ในสภาพรีดักชันและมีชัลเฟอร์ปรากฏร่วมอยู่ด้วย แคนดเมียมอาจอยู่ในรูป $CdHS^-$ (Fergusson, 1990)

รูปแบบของแคนดเมียมบริเวณผิวน้ำจะมีการเปลี่ยนแปลงอยู่เสมอ เนื่องจากแคนดเมียมอยู่ในรูปของ Cd^{2+} (2+ Oxidation State) ปฏิกิริยาออกซิเดชันและรีดักชันจะมีอิทธิพลค่อนข้างน้อยต่อรูปแบบของแคนดเมียมที่คล้ายในน้ำ การดูดซับขึ้นอยู่กับอนุภาคของแร่ดินเหนียว (Clay) และเหล็กออกไซด์ (Iron Oxide) จะมีบทบาทสำคัญในปฏิกิริยาเรดักชันชาตุแคนดเมียมในน้ำอย่างไรก็ตาม แคนดเมียมไม่สามารถดูดกลืนรูปได้โดยพอกชุดชีพหรือที่เรียกว่า Methylation เหมือนกับชาตุproto (U.S.EPA, 1991)

3. การนำมาใช้ประโยชน์

แคดเมียมถูกนำมาใช้ประโยชน์อย่างมากในหลายด้าน ได้แก่ อุตสาหกรรมและการเกษตร อุตสาหกรรมแคดเมียมและเกลือของแคดเมียมจำนวนมากถูกนำมาใช้ในการชุบโลหะด้วยไฟฟ้า นำมาผสมกับโลหะอื่น เช่น อลูมิเนียม proto แมgnesi เซี่ยม นิกเกิล ทำเป็นโลหะผสม เช่น อัลลอยด์ ซึ่งนำไปทำเป็นอุปกรณ์ต่างๆ เช่น ท่อ ออก เครื่องป้องกันไฟ เบ้าหยอด ส่วนประกอบยานต์ นอกจากนี้ยังทำเป็นแบตเตอรี่ นิกเกิล-แคดเมียม ผสมในยางเพื่อให้ทนความร้อนทำหน้าที่เป็น Stabilizer ในอุตสาหกรรมพลาสติก ใช้ในอุตสาหกรรมสี เช่น สีทาบ้าน สีชุบโลหะ หมึกพิมพ์ กระดาษ ลิ้งทอง เป็นต้น ใช้เป็นสารกึ่งตัวนำหัวใจเซลล์รูบิย์ (Solar Cell) และใช้ในงานทางด้านการแพทย์และทันตแพทย์ ด้านการเกษตรแคดเมียมถูกนำมาใช้เป็นองค์ประกอบหนึ่งของสารฆ่าแมลง สารฆ่าเชื้อรา ส่วนผสมในการผลิตปุ๋ยฟอสฟेट (สิทธิชัย, 2541) นอกจากนี้ยังมีสารประกอบแคดเมียมอีกมากมายที่ใช้ในอุตสาหกรรม ดังแสดงไว้ในตารางที่ 7

4. การปนเปื้อนสู่สิ่งแวดล้อมและมนุษย์

แคดเมียมสามารถเคลื่อนย้ายสู่อากาศ ดินและลงแหล่งน้ำ เมื่อคนและสัตว์บริโภคพืชหรือดื่มน้ำ จะได้รับแคดเมียมเข้าไปสะสมไว้และสามารถถ่ายทอด สะสม และเพิ่มขึ้นได้ในกระบวนการห่วงโซ่ออาหาร (สิทธิชัย, 2541) คนรับแคดเมียม จากการทำงานโดยการสูดเอาไว้ระหว่างหายของแคดเมียมซึ่งส่วนใหญ่มาจากการทำเหมืองและการหลอมโลหะและการสูดควันบุหรี่ รวมไปถึงการรับเข้าไปสู่ร่างกายโดยการกินอาหาร และดื่มน้ำที่มีแคดเมียมปนเปื้อนอยู่ด้วย ตารางที่ 8 (วรรณราย, 2546) เป็นการสรุปค่าปริมาณปริมาณของแคดเมียมที่ปนเปื้อนสู่บรรจุภัณฑ์และมหาสมุทรที่เกิดขึ้นของตามธรรมชาติและเกิดจากการกระทำการของมนุษย์

5. ความเป็นพิษ

อันตรายที่เกิดจากแคดเมียมจากการบันทึกพบครั้งแรกในประเทศญี่ปุ่น เรียกว่า โรคอิไต-อิไต (Itai-Itai) ลักษณะอาการของโรคจะปวดกระดูกและส่วนข้อต่อต่างๆของร่างกาย เนื่องจากการได้รับแคดเมียมที่ปนเปื้อนจากโรงงานกลุ่มแร่สังกะสี ในปัจจุบันอาการที่แสดงออกจากการได้รับแคดเมียมมีลักษณะคล้ายกับการขาดสารอาหาร (Malnutrition) และขาดวิตามิน (Vitamin Deficiency) การได้รับแคดเมียมที่ละเล็กละน้อย เป็นเวลานาน ทำให้เกิดการสะสมแคดเมียมในไต

ตารางที่ 7 สารประกอบแคดเมียมต่างๆที่ใช้ในด้านอุตสาหกรรม

สารประกอบ	การนำไปใช้ประโยชน์
แคดเมียมซัลไฟต์ (CdSO_4)	<ul style="list-style-type: none"> - อิเล็กโทรไดค์ในเซลล์ - วัตถุดับตั้งต้นในการผลิตแคดเมียม - ยาฆ่าเชื้อราและยาฆ่าแบคทีเรีย - สารหล่อลื่น
แคดเมียมไนเตรต ($\text{Cd}(\text{NO}_3)_2$)	<ul style="list-style-type: none"> - กระเบื้องเคลือบและกระจก - ผงแฟลชสำหรับกล้องถ่ายรูป - แบบเตอร์นิเกล-แคดเมียม
แคดเมียมคลอไรด์ (CdCl_2)	<ul style="list-style-type: none"> - การถ่ายภาพ - การซื้อมและการพิมพ์ - การทำดอกไม้เพลิง - การถ่ายภาพ
แคดเมียมโบรไนเด (CdBr_2)	<ul style="list-style-type: none"> - กระบวนการแกะสลัก - การผลิต Epoxy Resin - ตัวเร่งปฏิกิริยา - ตัวต้านทานในเตาเผาไฟฟ้า
แคดเมียมไฮดรอกไซด์ ($\text{Cd}(\text{OH})_2$)	<ul style="list-style-type: none"> - การผลิตตัวแคดเมียมอื่นๆ - แบบเตอร์นิเกล-แคดเมียม - เครื่องตรวจจับการแผ่รังสี - การผลิตเม็ดสี - เซลล์พลังงานแสงอาทิตย์ - วัสดุไวแสง
แคดเมียมซัลไฟด์ (CdS)	<ul style="list-style-type: none"> - การผลิตเม็ดสี - การผลิตเกลือแคดเมียมอื่นๆ - ตัวเร่งปฏิกิริยา
แคดเมียมคาร์บอนเนต (CdCO_3)	

ที่มา: Sriannathakumar (1988)

ตารางที่ 8 ค่าประมาณปริมาณแอดเมียนที่ปนเปื้อนสู่บรรยายกาศและมหาสมุทร

แหล่งกำเนิดของแอดเมียน	ค่าประมาณในแต่ละปี (10^3 ตัน)
แอดเมียนที่ปล่อยสู่บรรยายกาศ	
แหล่งธรรมชาติ	
ภูเขาไฟ	0.82
อนุภาคดินเหนียว	0.21
ไฟป่า	0.11
ละอองเกลือทะเล	0.06
ชีวิทยาของสิ่งมีชีวิต	0.24
ผลรวมที่เกิดจากธรรมชาติ	1.44
การกระทำของมนุษย์	
การถลุงแร่	5.59
การเผาขยะ	0.75
การเผาไหม้ถ่านหิน	0.53
การผลิตซีเมนต์	0.27
ปุ๋ยฟอสฟेट	0.17
การเผาไหม้ก๊าซมัน	0.14
การเผาไหม้	0.12
ผลรวมจากการกระทำของมนุษย์	7.57
แอดเมียนที่ปล่อยลงสู่มหาสมุทร	
แหล่งน้ำธรรมชาติ	
การไหลของแม่น้ำ	5.11
การฝังตัวของชั้นบรรยายกาศ	0.72
ผลรวมที่เกิดจากธรรมชาติ	5.83

ตารางที่ 8 (ต่อ)

แหล่งกำเนิดของแคดเมียม	ค่าประมาณในแต่ละปี (10^3 ตัน)
การกระทำของมนุษย์	
นำเข้าจากบ้านเรือน	1.74
การผลิตพลังงานไฟฟ้า	0.13
เหมืองแร่ การถลุงแร่ การกัดน้ำมัน	1.95
ขบวนการผลิตต่างๆ	2.45
อื่นๆ	0.69
การฝังตัวจากชั้นบรรยายกาศ	2.27
ผลรวมที่เกิดจากการกระทำของมนุษย์	9.23

ที่มา: พรบราย (2546)

อาจจะทำให้เป็นโรคได้ จากการทดลองในสัตว์โดยการให้แคดเมียมทางน้ำและอาหาร พบว่า ความดันเลือดสูงขึ้น เหล็กในเลือดต่ำ เป็นโรคตับ ประสาทและสมองเสียหาย เชื่อว่าแคดเมียมมีส่วนทำให้เป็นมะเร็งปอดแน่นอน แต่ในมนุษย์ยังไม่ทราบแน่นอนว่าถ้าสัมผัสแคดเมียมทางผิวหนัง หรือรับแคดเมียมโดยทางน้ำและอาหารแล้ว แคดเมียมจะทำให้เป็นมะเร็งได้หรือไม่ (สุวัจน์, 2549)

6. แหล่งแคดเมียมจากโรงงานอุตสาหกรรมที่ปล่อยลงสู่แหล่งน้ำ

สุวัจน์ (2549) ได้รายงานว่าน้ำทิ้งจากโรงงานอุตสาหกรรมการผลิตแพลงงจรไฟฟ้า ซึ่งมีแคดเมียมเป็นองค์ประกอบอยู่ประมาณ 100-500 ppm การสึกกร่อนของยางรอกยนต์และจักรยานยนต์ ซึ่งมีแคดเมียมเป็นองค์ประกอบอยู่ประมาณ 20-90 ppm ส่วนการผลิตปุ๋ยฟอสเฟต โดยหินฟอสเฟตที่ใช้เป็นวัตถุดีบจะมีแคดเมียมเป็นองค์ประกอบอยู่ประมาณ 10 ppm สำหรับน้ำทิ้งตามอาคารบ้านเรือนต่างๆจะมีแคดเมียมเป็นองค์ประกอบอยู่ถึง 30 ppm

7. มาตรฐานการควบคุมแอดเมียร์ม

มาตรฐานการปนเปื้อนของแอดเมียร์มที่ยอมให้มีได้ในสิ่งแวดล้อม ที่กำหนดโดยหน่วยงานที่เกี่ยวข้องต่างๆ ดังแสดงไว้ในตารางที่ 9

8. การกำจัดแอดเมียร์มในน้ำ

กระบวนการที่นำมาใช้ในการกำจัดแอดเมียร์มออกจากน้ำมีหลายวิธี ได้แก่ การตกรตะกอนทางเคมี (Chemical Precipitation) การแลกเปลี่ยน ไอออน (Ion Exchange) กระบวนการเมมเบรน (Membrane Process) และกระบวนการดูดซับ (Adsorption Process) หลักการของวิธีการดังกล่าว สรุปดังนี้

ตารางที่ 9 มาตรฐานค่าความเข้มข้นของแอดเมียร์มที่ยอมให้มีได้ในสิ่งแวดล้อม

มาตรฐาน	แหล่งที่มา	ค่ามาตรฐาน
มาตรฐานคุณภาพน้ำดื่มน้ำที่บรรจุภัณฑ์ในภาชนะที่บรรจุปิดสนิท	ประกาศกระทรวงสาธารณสุข ฉบับที่ 61 พ.ศ. 2524	ไม่เกิน 0.01 มก./ล
มาตรฐานผลิตภัณฑ์อุตสาหกรรมน้ำบริโภค	ประกาศกระทรวง อุตสาหกรรมฉบับที่ 332 พ.ศ. 2521	ไม่เกิน 0.01 มก./ล.
มาตรฐานคุณภาพน้ำที่บรรจุภัณฑ์ในภาชนะที่บรรจุปิดสนิท	ประกาศกระทรวง อุตสาหกรรมฉบับที่ 4 พ.ศ. 2521	ไม่เกิน 0.01 มก./ล.
มาตรฐานคุณภาพน้ำผิวดินที่ใช้ทະเบ	ประกาศคณะกรรมการ สิ่งแวดล้อมแห่งชาติ ฉบับที่ 8 พ.ศ. 2537	ไม่เกิน 0.05 มิลลิกรัม/ลิตร ในกรณีที่นำมีน้ำกระด้างในรูป CaCO_3 ไม่เกิน 100 มิลลิกรัม/ลิตร และ ไม่เกิน 0.05 มิลลิกรัม/ลิตร ในกรณีที่นำมีความกระด้างในรูป CaCO_3 เกินกว่า 100 มิลลิกรัม/ลิตร

ตารางที่ 9 (ต่อ)

มาตรฐาน	แหล่งที่มา	ค่ามาตรฐาน
มาตรฐานนำทึ้งลงน้ำบาดาล	ประกาศกระทรวง อุตสาหกรรม ฉบับที่ 5 พ.ศ. 2521	ไม่เกิน 0.1 มิลลิกรัม/ลิตร
มาตรฐานนำทึ้งจากโรงงาน อุตสาหกรรมและ นิคมอุตสาหกรรม	ประกาศกระทรวงวิทยาศาสตร์ เทคโนโลยีและสิ่งแวดล้อม ฉบับที่ 3 พ.ศ. 2539	ไม่เกิน 0.03 มิลลิกรัม/ลิตร
มาตรฐานนำดิน	การประปาส่วนภูมิภาค	ไม่เกิน 0.01 มิลลิกรัม/ลิตร
มาตรฐานคุณภาพน้ำประปา	การประปานครหลวง	ไม่เกิน 0.003 มิลลิกรัม/ลิตร

ที่มา: สมาคมวิศวกรรมสิ่งแวดล้อมแห่งประเทศไทย (2544)

8.1) การตกตะกอนทางเคมี

การตกตะกอนทางเคมีเป็นการเติมสารเพื่อไปทำปฏิกิริยากับโลหะหนักที่ละลายในน้ำทำให้เกิดเป็นตะกอนแยกออกจากน้ำ โดยทั่วไปนิยมตกตะกอนด้วยโซเดียมซิงค์ไซด์ (ZnO) ซึ่งจะได้เป็นตะกอนไฮดรอกไซด์ เช่น การเติมแคลเซียมออกไซด์ (CaO , Lime) หรือการตกตะกอนเป็นโซเดียมคาร์บอเนต (Na_2CO_3)

นอกจากนี้โซเดียมฟลูออไรด์ด้วยการเติมโซเดียมฟลูออไรด์ (Na_2S) โซเดียมฟลูออไรด์แต่ละชนิดสามารถตกตะกอนได้ที่พีเอชต่างกัน ในกรณีของแคลเซียมไฮドโรกไซด์ (Ca(OH)_2) ได้ดีที่ค่าพีเอชระหว่าง 10 ถึง 11 (Eckenfelder, 1989; Metcalf and Eddy, 2003)

Faust and Aly (1987) ได้ศึกษากระบวนการบำบัดด้วยวิธีทางเคมีที่ใช้กำจัดแคลเซียมในน้ำผิวดิน และนำบาดาลโดยวิธีการตกตะกอนทางเคมี (Chemical Coagulation) ใช้สารส้มและเฟอร์ริกซัลเฟต (Ferric Sulfate) เป็นสารตกตะกอน (Coagulation) ในสภาพความเป็นด่างค่อนข้างสูง (200 มิลลิกรัม/ลิตร as CaCO_3) พีเอชที่เหมาะสมในการตกตะกอนอยู่ระหว่าง 8.5-9.0 ผล

การศึกษา คือ เมื่อใช้เฟอร์ริกรัลเฟตทำให้ประสีทธิภาพในการกำจัดแอดเมียโนน้ำผิวดินและนำบាណาได้ดีกว่าสารส้ม ที่ปริมาณและพื้นที่เท่ากัน

8.2) การแลกเปลี่ยนประจุ (Ion Exchange)

การแลกเปลี่ยนไอออน คือ การแลกเปลี่ยนระหว่างไอออนในน้ำกับไอออนในสารละลายที่เป็นของแข็งที่สามารถเกิดพันธะทางเคมีกับไอออนได้ สารของแข็งที่สามารถแลกเปลี่ยนไอออน ได้นี้ เรียกว่า เรซิน (Resin) มี 2 แบบ คือ เรซินที่สามารถแลกเปลี่ยนไอออนบวก (Cation Exchange Resin) และเรซินที่สามารถแลกเปลี่ยนไอออนลบ (Anion Exchange Resin) (มั่นสิน, 2542) และ Faust and Aly (1998) กล่าวว่าการใช้เรซินแลกเปลี่ยนไอออนบวกแบบกรดแก่สามารถกำจัดแอดเมียโนน้ำได้ดีด้วยประสีทธิภาพ 90-100 เปอร์เซ็นต์

Maliou *et al.* (1992) พบว่าซีโอลไลต์ธรรมชาติ (Clinoptilolite) สามารถกำจัดแอดเมียโนและตะกั่วได้ โดยอาศัยกระบวนการแลกเปลี่ยนไอออน การศึกษาระทำภัยได้สภาวะต่างๆ กันได้ คือ กรณีที่มีไอออนบวกอื่นๆ ได้แก่ ตะกั่ว แอดเมียม และโซเดียม ผลการศึกษาพบว่าที่อุณหภูมิต่ำขนาดของซีโอลไลต์ไม่มีผลต่อการกำจัดโลหะหนัก แต่มีผลเมื่ออุณหภูมิสูงขึ้น นอกจากนี้จากการทดสอบโดยการใช้ขนาดของซีโอลไลต์ที่เท่ากัน แต่อุณหภูมิต่างกัน พบว่าซีโอลไลต์ที่มีขนาดเล็กกว่าสามารถกำจัดโลหะหนักได้ดีกว่าซีโอลไลต์ที่มีขนาดใหญ่

Cukovic *et al.* (1997) ได้ทำการศึกษากำจัดแอดเมียมและตะกั่วน้ำเสีย โดยการใช้ซีโอลไลต์ธรรมชาติเปรียบเทียบกับซีโอลไลต์ที่ปรับปรุงคุณภาพแล้ว พบว่าซีโอลไลต์ที่ผ่านการปรับปรุงคุณภาพแล้ว สามารถเกิดการแลกเปลี่ยนไอออนได้ดีกว่าซีโอลไลต์ธรรมชาติ ซึ่งซีโอลไลต์ที่ปรับปรุงคุณภาพด้วยการทำปฏิกิริยากับโซเดียมคลอไรด์ (NaCl) ที่อุณหภูมิสูง จะสามารถแลกเปลี่ยนไอออนได้ดีกว่าเมื่อใช้ความเข้มข้นของแอดเมียมที่เท่ากัน ทั้งนี้ ความสามารถในการแลกเปลี่ยนไอออนจะเพิ่มขึ้นเมื่อค่าพื้นที่เพิ่มขึ้น แต่กลับลดลงเมื่อเพิ่มความเข้มข้นของแอดเมียม

Zhao *et al.* (2002) ได้ศึกษากำจัดแอดเมียมที่มีปริมาณน้อยในน้ำดื่ม ด้วยการใช้เรซินแลกเปลี่ยนไอออนลบแบบเบสอ่อน (Weak base anion exchange resin) โดยอาศัยอันตรกิริยาระหว่างเรซินซึ่งทำหน้าที่เป็นลิวอิสเบส (Lewis Bases) และโลหะหนักในสารละลายจะทำ

หน้าที่เป็นลิวอิสกรด (Lewis Acids) นอกจานี้ยังสามารถนำเรซินกลับมาใช้ใหม่ได้โดยการทำปฏิกิริยากับกรดซัลฟูริกและโซเดียมไอกอรอกไซด์ ตามลำดับ

8.3) กระบวนการเมมเบรน (Membrane Process)

กระบวนการนี้อาศัยเมมเบรน (Semi-Permeable Membrane) ในการแยกโลหะหนักออกจากน้ำเสีย กระบวนการเมมเบรนที่นิยมใช้กำจัดแอดเมิร์น มี 2 แบบ คือ การแยกด้วยไฟฟ้าและเยื่อกรอง (Electrodialysis) และการอสโนมิสพันกลับ (Reverse Osmosis) ซึ่งความแตกต่างของทั้ง 2 กระบวนการนี้อยู่ที่ความสามารถในการแยกสารละลายที่มีขนาดต่างๆกัน รวมถึงแรงดันที่ทำให้เกิดการแยกไออกอนออกจากน้ำด้วย

การแยกด้วยไฟฟ้าและเยื่อกรอง ใช้ความต่างศักยไฟฟ้าเป็นแรงขับดันให้เกิดการแยกสารประ功用ที่แตกตัวเป็นไอออนให้ออกจากน้ำ โดยแพ่นเยื่อเมมเบรนที่ใช้มี 2 ชนิด คือ แผ่นบวก และแผ่นลบ แผ่นบวกจะจับสารปนเปื้อนที่มีประจุลบและปล่อยสารที่มีประจุบวกผ่านไปได้ ส่วนแผ่นลบจะจับสารปนเปื้อนที่มีประจุบวกและปล่อยสารที่มีประจุลบผ่านไปได้ โดยที่ไม่เกิดกอหงสา หากผ่านได้ยาก ทำให้สามารถแยกไออกอนของโลหะหนักออกจากน้ำได้ Faust and Aly (1988) กล่าวว่าการใช้กระบวนการอสโนมิสพันกลับที่มีเมมเบรนขนาดต่างๆกันจำนวน 5 ชนิด สามารถกำจัดแอดเมิร์นในน้ำได้ประสิทธิภาพมากกว่า 96 เปอร์เซ็นต์

8.4) การใช้ถ่านกัมมันต์ (Activated Carbon) ดูดซับแอดเมิร์น

การกำจัดสารปนเปื้อนที่มีขนาดเล็กจนถึงระดับไม่เกลุก โดยอาศัยความสามารถของสารบางชนิดในการดึงไม่เกลุกหรือคอลลอยด์ซึ่งอยู่ในของเหลวหรือก๊าซให้มาเกาะจับและติดบนผิวของมัน (มั่นสิน, 2542) ตัวดูดซับที่นิยมใช้ในกระบวนการบำบัดน้ำเสีย คือ ถ่านกัมมันต์ (Activated Carbon) เป็นถ่านที่สังเคราะห์ขึ้นมาเป็นพิเศษเพื่อให้มีพื้นที่ผิวมากพอที่จะทำได้ซึ่งกระบวนการนี้สามารถนำมาใช้กำจัดโลหะหนักได้ ดังเช่นการศึกษาของ Leyva *et al.* (1997) ได้นำมาดูดซับแอดเมิร์นในสารละลายด้วยถ่านกัมมันต์ โดยทำการทดลองแบบไม่ต่อเนื่อง (Batch) มีการปรับอุณหภูมิ 10, 25 และ 40 องศาเซลเซียส ตามลำดับ ปรับพิเศษจาก 2 ถึง 8 ผลกระทบของทดลองพบว่าการดูดซับแอดเมิร์นจะลดลง 3 เท่าเมื่ออุณหภูมิเพิ่มจาก 10 ถึง 40 องศาเซลเซียส พบร่วมกับแอดเมิร์นไออกอนจะไม่สามารถดูดซับด้วยถ่านกัมมันต์ที่พิเศษเท่ากับ 2 หรือต่ำกว่า

นอกจากนี้จะเกิดการตกลงกันเป็นแคดเมี่ยม ไสดรอก ไซด์ที่พีเอชมากกว่า 9 ซึ่งความสามารถในการดูดซับสูงสุดเกิดขึ้นที่พีเอช 8 และจะลดลงเป็น 12 เท่าเมื่อลดพีเอชจาก 8 ถึง 3

Faust and Aly (1987) รายงานว่าการเปรียบเทียบความสามารถในการดูดซับระหว่างการใช้ถ่านกัมมันต์แบบพงและเกร็ด พบร่วมกันกัมมันต์แบบพงมีประสิทธิภาพในการดูดซับแคดเมี่ยม ได้ดีกว่าแบบเกร็ดที่ปริมาณพีเอช และระยะเวลาการทำกัน และเมื่อได้ใช้ถ่านกัมมันต์ดูดซับโดยทั่วไปนานๆจะเกิดการอุดตันขึ้น ทำให้หมดประสิทธิภาพในการดูดซับ ดังนั้น จึงต้องทำการรีเจอเนอเรท (Regenerate) เป็นช่วงๆ

8.5) การใช้โลหะออกไซด์

โลหะออกไซด์ ได้แก่ แมงกานีส เหล็กและอลูมิเนียม สามารถดูดซับแคดเมี่ยมในรูปสารละลาย แมงกานีสออกไซด์มีประสิทธิภาพสูงสุดในการดูดซับแคดเมี่ยม โดยช่วงพีเอชที่เหมาะสมคือ 5-8.5 (Faust and Aly, 1987)

การดูดซับ

การดูดซับ (Adsorption) เป็นความสามารถของสารในการดึงโมเลกุลหรือคอลลอยด์ที่อยู่ในของเหลวหรือแก๊สให้มาเกาะจับและติดบนผิวของมัน ซึ่งปรากฏการณ์เช่นนี้จัดเป็นการเคลื่อนย้ายสาร (Mass Transfer) จากของเหลวหรือแก๊ษามายังผิวของแข็งเป็นส่วนสำคัญของการบวนการนี้โดยโมเลกุลหรือคอลลอยด์ที่เคลื่อนย้ายมาเรียกว่า สารถูกดูดซับ (Adsorbate) ส่วนของแข็งที่มีผิวเป็นที่เกาะจับของสารถูกดูดซับ เรียกว่า ตัวดูดซับ (Adsorbent) (มั่นสิน, 2542)

1. กลไกการดูดซับ

กลไกการดูดซับ แบ่งเป็น 3 ขั้นตอน (Faust and Aly, 1987) มีดังนี้

1) การแพร่ภายนอก (External Diffusion) การแพร่ภายนอกเป็นกลไกที่โมเลกุลของสารถูกดูดซับเข้าถึงตัวดูดซับ ซึ่งเป็นพื้นที่ผิวของตัวดูดซับมีของเหลวห่อหุ้ม โดยโมเลกุลแทรกตัวผ่านชั้นของของเหลวเข้าถึงผิวน้ำตัวดูดซับ

2) การแพร่ภายใน (Internal Diffusion) เป็นกลไกซึ่งโมเลกุลของสารถูกดูดซับแทรกตัวเข้าถึงช่องว่างตัวดูดซับ เพื่อให้เกิดการดูดซับ

3) ปฏิกิริยาพื้นผิว (Surface Reaction) ปฏิกิริยาพื้นที่ผิวเป็นกลไกซึ่งโมเลกุลของสารถูกดูดซับจะถูกดูดซับที่ผิวของตัวดูดซับ ซึ่งเป็นกระบวนการที่รวดเร็วมาก เมื่อเปรียบเทียบกับกระบวนการแพร่

2. อัตราการเคลื่อนย้ายโมเลกุล

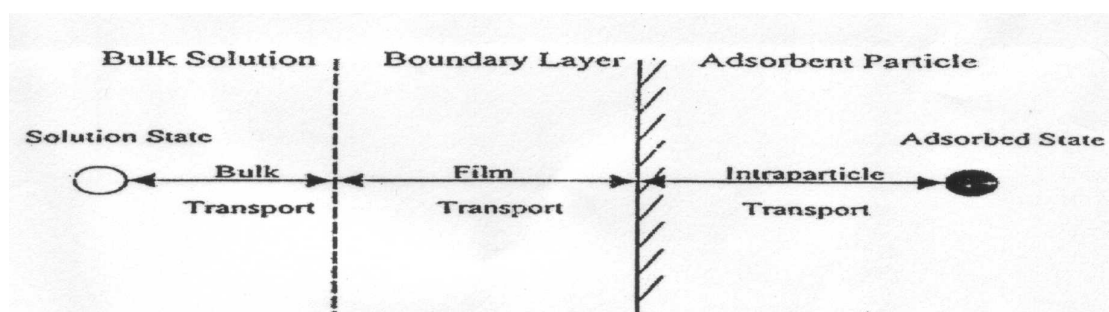
อัตราการดูดซับมีความสำคัญมาก อัตราการดูดซับที่รวดเร็วจะทำให้ระบบเข้าสู่ภาวะสมดุลได้เร็วขึ้น อัตราดูดซับจะถูกควบคุมโดยขั้นตอนที่มีความต้านทานมากที่สุดในการเคลื่อนย้ายโมเลกุล ซึ่งขั้นตอนที่ชาที่สุดจะเป็นขั้นตอนที่จำกัดอัตราการดูดซับ ซึ่งมี 3 ขั้นตอน คือ (Eckenfelder, 1981)

2.1) การเคลื่อนที่ของโภมเลกุล (Bulk Transport) โภมเลกุลของสารถูกดูดซับในของเหลวจะถูกส่งไปที่ผิวน้ำของชั้นของเหลวที่ห่อหุ้มตัวดูดซับ

2.2) การเคลื่อนที่ของชั้นฟิล์ม (Film Transport) เป็นขั้นตอนที่โภมเลกุลที่ผิวน้ำของชั้นของเหลวบางๆ แทรกตัวเข้าสู่ผิวน้ำของตัวดูดซับ การขนส่งชั้นฟิล์มเป็นกระบวนการที่ทำให้เกิดการแพร่ผ่านฟิล์ม จัดเป็นขั้นตอนที่จำกัดอัตราการดูดซับขั้นตอนหนึ่ง

2.3) การเคลื่อนที่ภายในอนุภาค (Intraparticle Transport) เป็นการแพร่ของโภมเลกุลสารถูกดูดซับเข้าสู่โพรงหรือรูพรุนของตัวดูดซับ (Pore Diffusion) และทำให้เกิดการดูดซับขั้นภายในชั้นตอนนี้ จัดเป็นขั้นตอนที่จำกัดอัตราการดูดซับชั้นเดียวกัน

โดยขั้นตอนการเคลื่อนที่ย้ายโภมเลกุลของสารถูกดูดซับมายังตัวดูดซับ แสดงดังภาพที่ 6



ภาพที่ 6 ขั้นตอนการเคลื่อนย้ายโภมเลกุลของการดูดซับ

ที่มา: Eckenfelder (1981)

ภายในได้สภาวะการทำงานหนึ่งๆ การขนส่งฟิล์มจัดเป็นขั้นตอนที่จำกัดอัตราการดูดซับ แต่ถ้าหากพบว่าภายในระบบมีสภาพความปั่นป่วนเพียงพอ ขั้นตอนการขนส่งภายในอนุภาคจะเป็นขั้นตอนที่ควบคุมอัตราการดูดซับ

3. ประเภทของการดูดซับ

การดูดซับที่สำคัญ มี 2 แบบ คือ การดูดซับทางกายภาพ (Physisorption) และการดูดซับทางเคมี (Chemisorption) การดูดซับทั้ง 2 แบบนี้ เกิดขึ้นเมื่อมีโมเลกุลในชั้นของเหลวเข้าใกล้และยึดกับผิวของแข็ง ซึ่งเป็นผลมาจากการดึงดูดที่ผิวของแข็งสามารถอ่อนน้อมแพลงงานจานน์ของโมเลกุลของสารที่มีอยู่ในของเหลวได้ (Eckenfelder, 1981)

ธิยา (2542) พบว่าปัจจัยที่สำคัญในการบ่งบอกถึงประเภทของการดูดซับโดยพิจารณาจากแรงดึงเหนี่ยวระหว่างโมเลกุลที่ถูกดูดซับกับผิวของสารถูกดูดซับ ถ้าแรงดึงเหนี่ยวเป็นแรงวนเดอร์วาวส์ (Van Der Waals Forces) จะถูกดูดซับทางกายภาพ (Physical Adsorption) แต่ถ้าแรงดึงเหนี่ยวทำให้เกิดพันธะเคมีระหว่างโมเลกุลที่ถูกดูดซับกับผิวของสารถูกดูดซับจะเรียกว่า การดูดซับทางเคมี (Chemical Adsorption)

3.1) การดูดซับทางกายภาพ

การดูดซับทางกายภาพเป็นการดูดซับที่เกิดจากแรงดึงดูดระหว่างโมเลกุลอ่อนอ่อน คือ แรงวนเดอร์วาวส์ (Van Der Waals Forces) ซึ่งเกิดจากการรวมแรงกันของแรง 2 ชนิด คือ แรงกระจาย(London Dispersion Force) และแรงไฟฟ้าสถิตย์ (Electrostatic Force) (Eckenfelder, 1981) การดึงดูดด้วยแรงที่อ่อนนี้อาจทำให้การดูดซับประเภทนี้มีพลังงานการคายความร้อนค่อนข้างน้อย คือ ต่ำกว่า 20 กิโลจูลต่อโนมล และสามารถเกิดการผันกลับของกระบวนการได้ง่าย ซึ่งเป็นข้อดี เพราะสามารถฟื้นฟูสภาพของตัวดูดซับได้ง่ายด้วย นอกจากนี้ Cheremisoff and Ellerbusch (1978) กล่าวไว้ว่าสารถูกดูดซับสามารถเก็บอยู่ร่องๆ ของตัวดูดซับได้หลายชั้น (Multilayer) กล่าวคือ ในแต่ละชั้นของโมเลกุล สารถูกดูดซับจะติดอยู่กับชั้นของโมเลกุลของสารถูกดูดซับในชั้นก่อนหน้า(สามารถมีหลายชั้น โนมเลกุลจับยึดซ้อนๆ กันขึ้นไปได้) โดยจำนวนชั้นเป็นสัดส่วนกับความเข้มข้นของสารถูกดูดซับ และเพิ่มมากขึ้นตามความเข้มข้นที่สูงขึ้นของตัวถูกละลายในสารละลาย

3.2) การดูดซึบของทางเคมี

การดูดซึบประเภทนี้เกิดขึ้นเมื่อสารถูกดูดซึบกับตัวดูดซึบที่ทำปฏิกิริยาเคมีกัน โดยส่งผลให้เกิดการเปลี่ยนแปลงทางเคมีของสารถูกดูดซึบเดิม คือมีการทำลายแรงยึดเหนี่ยวระหว่างอะตอมหรือกลุ่มอะตอมเดิมแล้วมีการจัดเรียงอะตอมไปเป็นสารประกอบใหม่ขึ้น โดยมีพันธะเคมีซึ่งเป็นพันธะที่แข็งแรง มีพลังงานกระตุ้นเข้ามาเกี่ยวกับข้อห้ามทำให้ความร้อนของการดูดซึบมีค่าสูงประมาณ 50-400 กิโลจูลต่อโมล กล่าวคือ การกำจัดสารถูกดูดซึบออกจากผิวตัวดูดซึบจะทำได้ยาก คือ เกิดปฏิกิริยาไม่ผันกลับ (Irreversible) และการดูดซึบประเภทนี้จะเป็นการดูดซึบแบบชั้นเดียว (Monolayer) เท่านั้น สำหรับการดูดซึบเพียงชั้นเดียว นั่นคือ มีเพียง 1 โมเลกุลต่อการยึดที่จุดหนึ่ง ซึ่งการดูดซึบทางกายภาพและเคมี มีข้อแตกต่างกันหลายประการ ดังแสดงไว้ในตารางที่ 10 (ธิยา, 2542) นี้ดังนี้

ตารางที่ 10 ข้อแตกต่างระหว่างการดูดซึบทางกายภาพและการดูดซึบทางเคมี

ตัวแปร	การดูดซึบทางกายภาพ	การดูดซึบทางเคมี
ค่าความร้อนของการดูดซึบ	น้อยกว่า 20 กิโลจูลต่อโมล	50-400 กิโลจูลต่อโมล
อุณหภูมิที่เกิดการดูดซึบ	ต่ำ	สูง
แรงดึงดูดระหว่างโมเลกุล	แรงวันเดอร์瓦ลส์	พันธะเคมี
การผันกลับของปฏิกิริยา	ผันกลับได้	ส่วนใหญ่ไม่ผันกลับ
การดูดซึบบนก้าช-ของแข็ง	เกิดได้เกือบทุกชนิด	เกิดเฉพาะบางระบบ
พลังงานก่อการมันต์ในกระบวนการเกิด	ไม่เกี่ยวข้อง	เกี่ยวข้อง
รูปแบบชั้นของการดูดซึบ	Monolayer และ Multilayer	Monolayer

ที่มา: ธิยา (2542)

4. ปัจจัยที่มีอิทธิพลต่อการดูดซับ

4.1 ขนาดและพื้นที่ผิวของตัวดูดซับ

ความสามารถในการดูดซับมีความสัมพันธ์โดยตรงกับพื้นที่ผิวจำเพาะและอัตราการดูดซับเป็นสัดส่วนผกผันกับขนาดตัวดูดซับ และพื้นที่ผิวของตัวดูดซับมีความสัมพันธ์โดยตรงกับความสามารถในการดูดซับ (Adsorption Capacity) คือ ตัวดูดซับที่มีพื้นที่ผิวมากย่อมดูดซับโนมเลกุลได้มากกว่าตัวดูดซับที่มีพื้นที่ผิวน้อย เพราะพื้นที่ผิวส่วนใหญ่ของตัวดูดซับได้มาจากการโพรงภายในดังนั้น ขนาดของตัวดูดซับจึงมีบทบาทน้อยในการกำหนดพื้นที่ผิว (มั่นสิน, 2542)

4.2 ลักษณะของสารที่ถูกดูดซับ

สิ่งที่สำคัญในการดูดซับของสารที่ถูกดูดซับประการหนึ่งคือ ความสามารถในการละลายนำของสารที่ถูกดูดซับ การดูดซับจะเพิ่มขึ้นเมื่อความสามารถในการละลายนำของสารที่ถูกดูดซับมีค่าคงคลน เนื่องจากในการดูดซับสารที่ถูกดูดซับ จะต้องถูกแยกออกจากตัวทำละลาย แล้วไปเกาะติดบนผิวของแข็ง นอกจากนี้ขนาดของโนมเลกุลสารที่ถูกดูดซับยังมีผลต่ออัตราการดูดซับอีกด้วย เนื่องจากอัตราการเคลื่อนที่ภายในโพรงเป็นอัตราที่ควบคุมโดยการดูดซับ ขนาดของโนมเลกุลของสารที่ถูกดูดซับจะแปรผกผันกับอัตราดูดซับ ดังนั้น การดูดซับจะเกิดขึ้นได้ดีที่สุด เมื่อสารถูกดูดซับมีขนาดเล็กกว่าโพรงเล็กน้อยหรือเข้าโพรงได้พอดี เพราะจะทำให้มีแรงดึงดูดระหว่างสารที่ถูกดูดซับและตัวดูดซับมีค่ามากที่สุด โดยโนมเลกุลขนาดเล็กจะเข้าไปในโพรงก่อนโนมเลกุลขนาดใหญ่ (มั่นสิน, 2542)

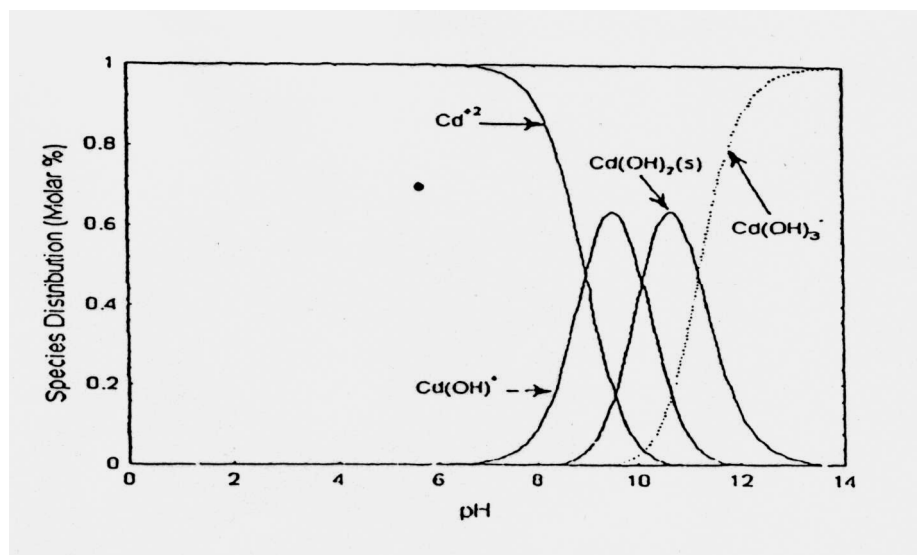
4.3 เวลาสัมผัส

ระยะเวลาสัมผัสเป็นตัวแปรที่มีผลต่อประสิทธิภาพของการดูดซับ ในการบำบัดน้ำเสียระยะเวลาสัมผัสที่ใช้จะต้องเหมาะสมที่ทำให้ประสิทธิภาพในการกำจัดดีที่สุด ทั้งนี้ จะขึ้นอยู่กับชนิดของตัวดูดซับ และสารที่ถูกดูดซับ ซึ่งในระยะเวลาที่เหมาะสมต้องทำการศึกษาในระดับห้องปฏิบัติการก่อนที่จะนำไปใช้งานจริง (มั่นสิน, 2542)

4.4 ความเป็นกรด-ด่าง

ค่าพีอีของสารละลายเป็นปัจจัยที่สำคัญของการดูดซับ เนื่องจากไซโคลอเจน ไอออน และไซครอกซิล ไอออนสามารถดูดซับได้อย่างแข็งแรง ค่าพีอีมีอิทธิพลต่อการแตกตัวของไอออน และการละลายนำของสารต่างๆ ดังนั้น จึงมีผลผลกระทบต่อการดูดซับ (นั่นสิน, 2542)

นอกจากนี้พีอีซึ่งมีผลต่อรูปแบบ (Species) ของโลหะ เช่น แคนเดเมียม ไอออนจะมีรูปแบบต่างๆ กันขึ้นอยู่กับพีอีของสารละลาย Leyva-Ramos *et al.* (1997) กล่าวว่า ที่ค่าพีอีต่ำกว่า 7 แคนเดเมียมจะอยู่ในรูปแคนเดเมียม ไอออน (Cd^{2+}) เป็นส่วนใหญ่ แต่ค่าพีอีสูงขึ้นแคนเดเมียม ไอออนจะมีการรวมตัวกับโมเลกุลของน้ำเกิดเป็นสารประกอบเชิงช้อนชนิดต่างๆ เช่น Cd(OH)^+ Cd(OH)_2 และ Cd(OH)_3^- ดังแสดงในภาพที่ 7

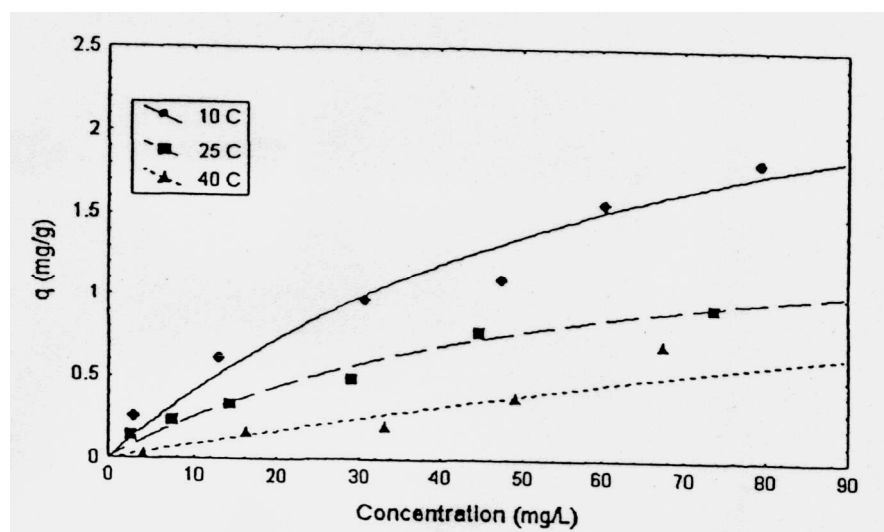


ภาพที่ 7 สารประกอบเชิงช้อนของแคนเดเมียมในสารละลายพีอีต่างๆ

ที่มา: Leyva-Ramos *et al.* (1997)

4.5 อุณหภูมิ

อุณหภูมิมีอิทธิพลต่ออัตราเร็วและขีดความสามารถในการดูดซับ กล่าวคือ อัตราเร็วจะเพิ่มขึ้นตามการเพิ่มขึ้นของอุณหภูมิ และลดลงตามการลดลงของอุณหภูมิ แต่ขีดความสามารถในการดูดซับมีค่าลดลงที่อุณหภูมิสูง และมีค่าเพิ่มขึ้นที่อุณหภูมิต่ำ ทั้งนี้เนื่องจากการดูดซับเป็นปฏิกิริยาเคมีความร้อน (มั่นศิน, 2542) ดังภาพที่ 8 จะเห็นได้ว่าความสามารถในการดูดซับแคนเดเมียมจะลดลงเมื่ออุณหภูมิเพิ่มขึ้นจาก 10 ถึง 25 และ 40 องศาเซลเซียส



ภาพที่ 8 ผลของอุณหภูมิต่อการดูดซับของแคนเดเมียมไออกอนบนถ่านกัมมันต์
ที่มา: Leyva-Ramos *et al.* (1997)

4.6 ความปั่นป่วน

อัตราเร็วในการดูดซับขึ้นอยู่กับการขนส่งโมเลกุลของระบบ ซึ่งจัดว่าเป็นขั้นตอนที่จำกัดอัตราเร็วของการดูดซับ ขั้นตอนนี้ประกอบด้วย การแพร่ผ่านฟิล์ม (Film Diffusion) และการแพร่ในรูพรุน (Pore Diffusion) ขึ้นอยู่กับความปั่นป่วนของระบบ กล่าวคือ ถ้าระบบมีความปั่นป่วนต่ำ ทำให้ความหนาของชั้นฟิล์มมากขึ้น โมเลกุลของสารถูกดูดซับเคลื่อนที่เข้าหาตัวดูดซับช้า ดังนั้นการแพร่ผ่านฟิล์มจึงเป็นตัวกำหนดอัตราเร็วของการดูดซับของปฏิกิริยา ในทางตรงกันข้ามถ้าระบบมีความปั่นป่วนสูงจะทำให้น้ำไม่สามารถรวมตัวเป็นฟิล์มหนา ทำให้โมเลกุลของสารถูกดูด

ชั้บเคลื่อนที่ผ่านฟล์มน้ำเข้าไปยังสู่ตัวดูดซับ ได้อย่างรวดเร็วกว่าการเคลื่อนที่เข้าโพรง ในกรณีนี้ การเคลื่อนที่เข้าโพรงจะเป็นตัวกำหนดอัตราเร็วของการดูดซับ (มั่นสิน, 2542)

5. สมดุลและไอโซเทอมการดูดซับ

การดูดซับที่สภาวะสมดุล (Adsorption Equilibrium) สามารถอธิบายปรากฏการณ์ของกระบวนการการดูดซับที่เกิดขึ้นว่า ณ จุดสมดุลการดูดซับ สมรรถนะของตัวดูดซับ (Adsorption Capacity) สามารถเขียนในรูปความสัมพันธ์กับความเข้มข้นของสารที่ถูกดูดซับในน้ำที่อุณหภูมิคงที่ โดยเรียกความสัมพันธ์นี้ว่า ไอโซเทอมของการดูดซับ (Adsorption Isotherm) (Faust and Aly, 1987)

ไอโซเทอมการดูดซับมีหลายรูปแบบเป็นผลมาจากการพัฒนาทางทฤษฎีและการสังเกตจาก การทดลอง รายละเอียด มีดังนี้

5.1) ไอโซเทอมการดูดซับแบบแลงเมียร์ (Langmuir Adsorption Isotherm) มีสมมุติฐาน พื้นฐานที่เรียกว่า Ideal localized Monolayer Model ดังนี้

- 1) เกิดการดูดซับแบบชั้นเดียว (Monolayer) เท่านั้น
- 2) ไม่มีเลกุลที่ถูกดูดซับ ไม่สามารถเคลื่อนที่อย่างอิสระบนผิวของตัวดูดซับได้
- 3) เอนทาลปีของการดูดซับมีค่าเดียวกันสำหรับทุกๆ ไมเลกุล
- 4) พลังงานการดูดซับแต่ละบริเวณมีค่าเท่ากัน

สมการ ไอโซเทอมการดูดซับแบบแลงเมียร์ แสดงดังสมการที่ (3)

$$X = \frac{X_m b C_e}{1 + b C_e} \quad (3)$$

$X =$ ปริมาณของสารถูกดูดซับต่อหน่วยน้ำหนักของตัวดูดซับ มีหน่วยเป็นมิลลิกรัมต่อกิโลกรัม

X_m = ปริมาณของสารถูกดูดซับต่อหน่วยน้ำหนักของตัวดูด
 ซับเมื่อเกิดการดูดซับแบบชั้นเดียวอย่างสมบูรณ์
 C_e = ความเข้มข้นสารถูกดูดซับในสารละลายที่จุดสมดุล
 หน่วยเป็นมิลลิกรัมต่อลิตร
 b = ค่าคงที่ของพลังงานในการดูดซับ

จากสมการที่ (3) สามารถจัดให้อยู่ในรูปสมการเชิงเส้น ได้ดังสมการที่ (4) และ (5)

$$\frac{C_e}{X} = \frac{1}{bX_m} + \frac{C_e}{X_m} \quad (4)$$

$$\frac{1}{X} = \frac{1}{X_m} + \frac{1}{bX_m C_e} \quad (5)$$

เมื่อเขียนกราฟระหว่าง $1/X$ กับ $1/C_e$ ข้อมูลสมดุลการดูดซับดังแสดงในภาพที่ 9 (ก)
สามารถหาค่าคงที่ b และ X_m ได้จากความชันและจุดตัดกราฟ

5.2) ไอโซเทอมการดูดซับแบบ BET (Brunauer-Emmett-Teller, BET Adsorption Isotherm)

ไอโซเทอมแบบ BET พัฒนามาจากไอโซเทอมแบบแลงเมียร์ ใช้อธิบายการดูดซับแบบหลายชั้น (Multilayer) โดยมีสมมุติฐาน ดังนี้

- 1) ไม่เลกุลที่ถูกดูดซับไม่เกิดการเคลื่อนที่ออกจากพื้นผิวของตัวดูดซับ
- 2) เอนทอลปีของการดูดซับมีค่าคงที่สำหรับทุกไม่เลกุล
- 3) ทุกไม่เลกุลในชั้นมีพลังงานของการดูดซับเท่ากัน
- 4) ชั้นการดูดซับไม่ต้องการการดูดซับที่สมบูรณ์ก่อนเกิดการดูดซับต่อไป

สมการการดูดซับแบบ BET และงใน การสมการที่ (6)

$$X = \frac{X_m BC_e}{(C_s - C_e)[1 + (B-1)(C_e/C_s)]} \quad (6)$$

- X = ปริมาณของสารถูกดูดซับต่อหน่วยน้ำหนักของตัวดูดซับมีหน่วย
เป็นมิลลิกรัมต่อกิรัม
 X_m = ปริมาณของสารถูกดูดซับต่อหน่วยน้ำหนักของตัวดูดซับที่ใช้ในการ
สร้างแผ่นชั้นเดียว มีหน่วยเป็นมิลลิกรัมต่อกิรัม
 C_e = ความเข้มข้นสารถูกดูดซับในสารละลายที่จุดสมดุล หน่วยเป็น
มิลลิกรัมต่อลิตร
 C_s = ความสามารถในการละลายของสารที่ถูกดูดซับในน้ำที่อุณหภูมิ
หนึ่งๆ มีหน่วยเป็นมิลลิกรัมต่อลิตร
 B = ค่าคงที่ของพลังงานของการดูดซับ

จากสมการที่ (6) สามารถจัดเรียงเป็นแบบเชิงเส้น ได้ดังสมการ (7)

$$\frac{C_e}{(C_s - C_e)x} = \frac{1}{X_m B} + \frac{B-1}{X_m B} \frac{C_e}{C_s} \quad (7)$$

เมื่อเขียนกราฟระหว่าง $C_e/(C_s - C_e) X$ กับ C_e/C_s จะได้เส้นตรงที่มีความชัน $(B-1)/(X_m B)$ และ¹ จุดตัดแกนเท่ากับ $1/X_m B$ กราฟของสมการการดูดซับแบบ BET และงในภาพที่ 9 (ข)

5.3) ไอโซเทอมการดูดซับแบบฟลูนคลิก

ไอโซเทอมการดูดซับแบบฟลูนคลิกใช้กันอย่างแพร่หลาย ในการอธิบายการดูดซับในระบบของเหลวมีสมการ (8) ดังนี้

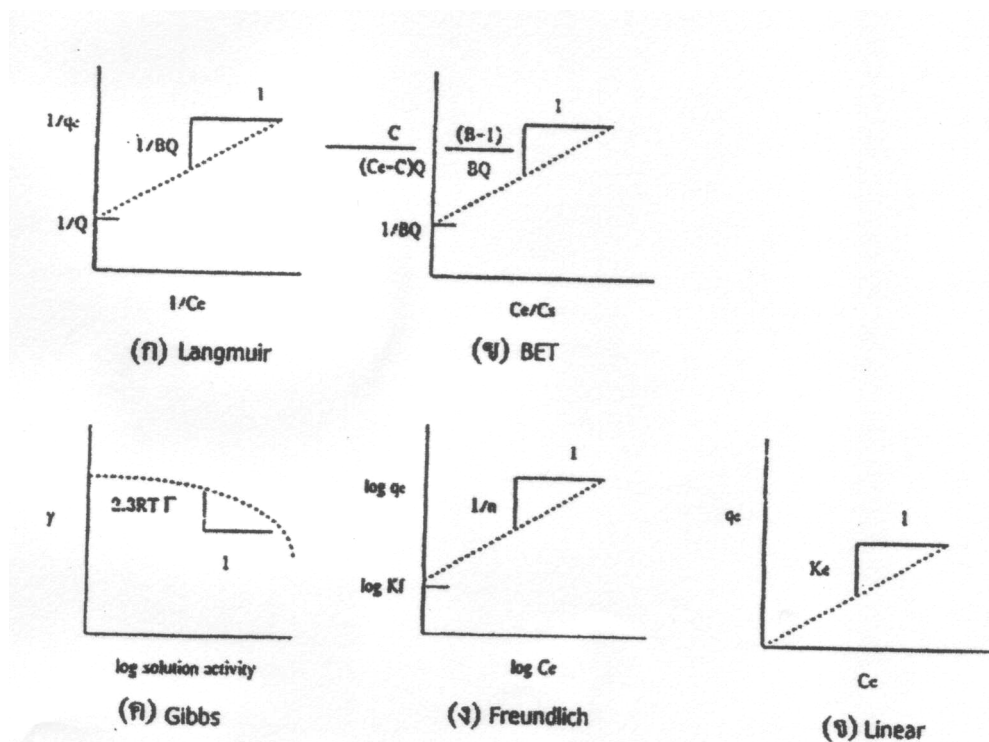
$$\frac{X}{M} = KC_e^{1/n} \quad (8)$$

X	=	ปริมาณสารถูกดูดซับ มีหน่วยเป็น มิลลิกรัม
M	=	น้ำหนักของตัวดูดซับ มีหน่วยเป็นกรัม
C_e	=	ความเข้มข้นของสารตัวถูกดูดซับในสารละลาย ที่จุดสมดุล มิลลิกรัมต่อลิตร
$K, 1/n$	=	ค่าคงที่ของระบบ

สามารถเขียนให้อยู่ในรูปของสมการเชิงเส้นตรง (8) ได้ดังนี้

$$\log(X/M) = \log K + (1/n) C_e \quad (9)$$

ผลอัตราการห่วง $\log(X/M)$ กับ $\log C_e$ จะได้เส้นตรงซึ่งมีความชันเท่ากับ $1/n$ และมีจุดตัดแกนท่ากับ $\log K$ ดังแสดงในภาพที่ 9 (ง) ค่า $1/n$ ที่ได้จากการดูดซับของสารถูกดูดซับด้วยตัวถูกดูดซับ ส่วนใหญ่จะมีค่าน้อยกว่า 1 สำหรับ ค่า $1/n$ ที่เกือบจะเท่ากับ 1 แสดงถึงความจุของตัวดูดซับที่ดี



ภาพที่ 9 กราฟแสดงการหาค่าคงที่ในสมการไอโซเทอมในรูปแบบต่างๆ

ที่มา: Faust and Aly (1987)

ค่าปริมาณการดูดซับสูงสุด (Capacity) ของตัวดูดซับ คือ ลักษณะของตัวดูดซับซึ่งรูปร่างไอโซเทอมสามารถออกเป็นลักษณะการดูดซับได้ แต่ไม่สามารถออกค่าปริมาณการดูดซับของตัวดูดซับได้ ดังนั้น จำเป็นต้องมีแบบจำลอง หรือสามารถนำมาใช้ในการทำนายปริมาณการดูดซับสูงสุดของการดูดซับนี้ แบบจำลองการดูดซับที่เป็นที่ยอมรับ และใช้กันอย่างกว้างขวางในการทำนายลักษณะการดูดซับ คือ แบบจำลอง Langmuir และ Freundlich

6. การทดลองด้วยคอลัมน์ดูดซับ

จากการศึกษาไอโซเทอมการดูดซับจะสามารถพิจารณาเลือกตัวดูดซับที่เหมาะสมได้แต่อย่างไรก็ตามข้อมูลที่ได้ยังไม่เพียงพอสำหรับใช้ในการออกแบบกระบวนการดูดซับ จึงต้องมีการทำทดสอบโดยใช้คอลัมน์ดูดซับ (Column Test) เพื่อหาอายุการใช้งานของตัวดูดซับ

ระบบการดูดซับ แบ่งออกได้ 2 ประเภท ดังนี้ (ชาติ, 2546)

1) การดูดซับแบบไม่ต่อเนื่อง (Batch Adsorption)

จากสมดุลมวลสารของสิ่งเจือปนในน้ำ ดังสมการ (10)

$$\frac{q}{F} M + C_F S = qM + CS \quad (10)$$

โดยที่	q_F	=	ปริมาณสิ่งเจือปนบนผิwtัวดูดซับก่อนใช้งาน
	M	=	น้ำหนักของตัวดูดซับ
	C_F	=	ความเข้มข้นของสิ่งเจือปนในน้ำ
	S	=	ปริมาตรของน้ำ
	q	=	ปริมาณสิ่งเจือปนบนผิwtัวดูดซับที่จุดสมดุล
	C	=	ความเข้มข้นของสิ่งเจือปนที่จุดสมดุล

2) การดูดซับแบบต่อเนื่อง (Continuous Adsorption)

2.1) ความสามารถสูงสุดของ Column ในการดูดซับสิ่งเจือปน ดังสมการ (11)

$$t_t = \int_0^\infty \left(1 - \frac{C}{C_0} \right) dt \quad (11)$$

เมื่อ

t_t	=	ระยะเวลาการใช้งาน Column จนหมดประสิทธิภาพ
C/C_0	=	ปริมาณสิ่งเจือปนในน้ำออก/นำเข้า

2.2) ถ้า Column ถูกใช้งานจนน้ำที่ผ่าน Column มีปริมาณสิ่งเจือปนเท่ากับความเข้มข้นที่กำหนด (Break through concentration) ดังสมการ (12)

$$t_u = \int_0^{t_b} \left(1 - \frac{C}{C_0}\right) dt \quad (12)$$

เมื่อ

t_b = ระยะเวลาการใช้งาน Column จนหมดจนกระทั่งมีปริมาณสิ่งเจือปนเท่ากับความเข้มข้นที่กำหนด

2.3) ความสูงของ Column ที่ถูกใช้งาน (H_B) ดังสมการ (13)

$$H_B = \frac{t_u}{t_t} H_T \quad (13)$$

เมื่อ

H_T = ความสูงทั้งหมดของ Column

2.4) ความสูงของ Column ที่ไม่ถูกใช้งาน (H_{UNB}) ดังสมการ (14) และ (15)

$$H_{UNB} = (1 - \frac{t_u}{t_t}) H_T \quad (14)$$

โดยที่

$$H_T = H_B + H_{UNB} \quad (15)$$

ปริมาตรน้ำรวมที่ผ่าน Column ก่อนหยุดใช้งาน = Avt_b

เมื่อ A = พื้นที่หน้าตัดของ Column

v = อัตราเร็วของน้ำใน Column (หรือการบรรทุกพื้นที่ผิว)

จากทฤษฎีของปฏิกิริยาพื้นผิว (Surface – reaction theory) ของ Bohart Adams

ดังสมการ (16)

$$\ln\left(\frac{C_0}{C_b} - 1\right) = \ln\left(e^{KNH/v} - 1\right) - KC_0 t \quad (16)$$

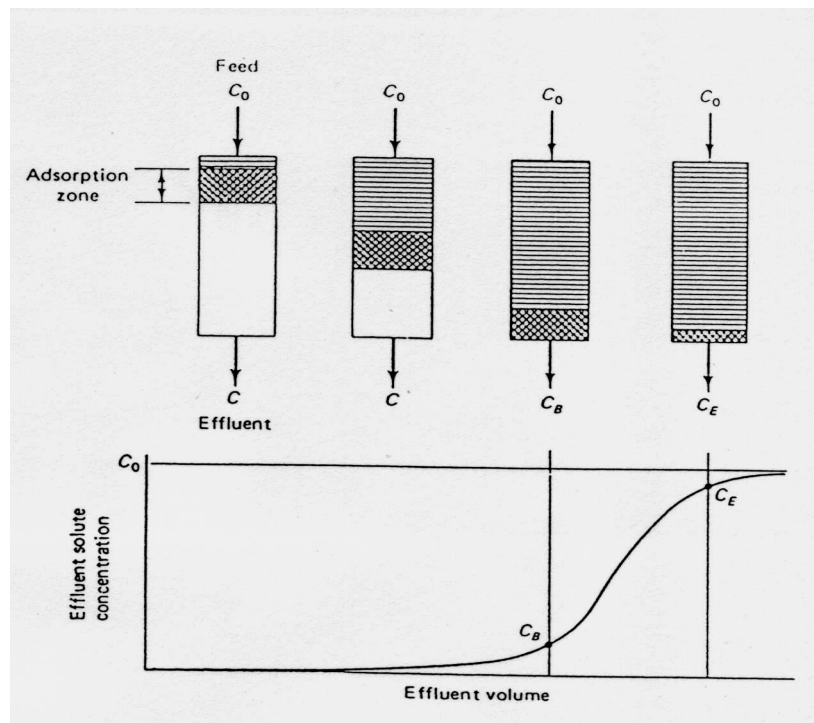
จากสมการ (16) จะได้สมการที่ (17)

$$t = \frac{N_0 H}{C_0 v} - \frac{1}{KC_0} \ln\left[\frac{C_0}{C_b} - 1\right] \quad (17)$$

เมื่อ

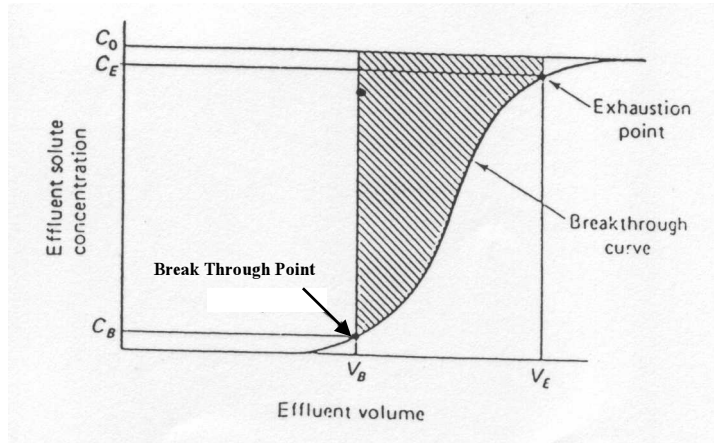
- | | | |
|-------|---|---|
| t | = | ระยะเวลาการใช้งาน (นาที) |
| v | = | ความเร็วในการหลอกสารละลายแอดเมียโนอน
ผ่านชั้นของเหล็กออกไซด์ (เซนติเมตรต่อนาที) |
| H | = | ความสูงของชั้นเหล็กออกไซด์ (เซนติเมตร) |
| N_0 | = | ความจุในการดูดซับหรือปิดความสามารถในการดูดซับ
(มิลลิกรัมของแอดเมียโนอนต่อลูกบาศก์เซนติเมตร
ของเหล็กออกไซด์) |
| K | = | ค่าคงที่ของอัตราการดูดซับ (ลูกบาศก์เซนติเมตรของ
สารละลายต่อมิลลิกรัมของแอดเมียโนอน-นาที) |
| C_0 | = | ค่าความเข้มข้นเริ่มต้นของสารถูกดูดซับ
(มิลลิกรัมต่อลูกบาศก์เซนติเมตร) |
| C_b | = | ค่าความเข้มข้นในการใช้งานของสารถูกดูดซับหรือค่า
สูงสุดที่กำหนดไว้ (มิลลิกรัมต่อลูกบาศก์เซนติเมตร) |

เมื่อน้ำเสียไหลผ่านคอลัมน์ของชั้นตัวดูดซับ ตัวดูดซับชั้นบนจะหมดประสาทิชิกาฟ ก่อน และชั้นของตัวดูดซับที่หมดประสาทิชิกาฟจะเพิ่มขึ้นเรื่อยๆ ตามเวลาการใช้งาน ดังแสดงไว้ในภาพที่ 10 ดังนั้น ความเข้มข้นของสิ่งปนเปื้อนในน้ำเสียที่ผ่านการดูดซับแล้วจะเพิ่มขึ้นตามเวลาจาน ในที่สุดความเข้มข้นถึงค่าสูงสุดที่สามารถยอมรับได้ ที่จุดนี้เรียกว่าจุดเบรคทรูจ์ (Break Through) เส้นโค้งดังแสดงในภาพที่ 11 เรียกว่า เส้นโค้งเบรคทรูจ์ (Break Through Curve) โดยเวลาที่นับจาก เริ่มต้นการดูดซับจนถึงจุดเบรคทรูจ์ เรียกว่า เวลาการใช้งาน(Service Time) (เสริมพล และ ไชยยุทธ, 2524) และเมื่อตัวดูดซับไม่สามารถดูดซับได้อีก เรียกว่า จุดที่ตัวดูดซับหมดประสาทิชิกาฟ (Exhaust Point) ซึ่งจุดนี้ความเข้มข้นของน้ำทิ้งที่ออกจากระบบ (C_E) จะมีค่าเท่ากับความเข้มข้นของน้ำเสียเข้า ระบบ (C_o)



ภาพที่ 10 การเคลื่อนตัวของ Adsorption Zone สำหรับชั้นตัวดูดซับที่อยู่กับที่ ตามทิศทางการไหล ของน้ำเสีย

ที่มา: Sundstrom and Klei (1979)



ภาพที่ 11 ลักษณะของเส้นโค้งเบรคทรูจ์สำหรับชั้นตัวคุณซับที่อยู่กับที่ ตามทฤษฎี
ที่มา: Sundstrom and Klei (1979)

Argamon *et al.*, 1973 กล่าวว่าในการทดลองถ้าวัดความเข้มข้นที่สุดต่างๆ กายในคอลัมน์จะได้กราฟความเข้มข้นของสารที่ลดลงเรื่อยๆ จากความเข้มข้นเท่ากันน้ำเสียขาเข้า ออกจะเป็นความเข้มข้นเป็นสูน์ โดยกราฟนี้จะค่อยๆ เคลื่อนที่เข้าไปเรื่อยๆ จากปลายด้านหนึ่งของคอลัมน์ (ขาเข้าของน้ำเสีย) ไปยังปลายขาออกของน้ำเสีย เพราะช่วงแรกๆ ตัวคุณซับถูกใช้งานก่อน และเมื่อพื้นที่ผิวเต็มก็จะไม่คุณซับไปอีกต่อไปได้ ดังนั้นจึงเกิดการลดลงของความเข้มข้น เรียกว่ากระบวนการคุณซับนี้ว่า Mass Transfer Zone (MTZ) และเมื่อ MTZ เคลื่อนที่จนถึงปลายขาออกของน้ำเสีย ซึ่งจะพบว่า มีสารบนตัวคุณซับส่วนหนึ่งที่เล็ด落ออกไปกับน้ำเสีย เรียกสุดที่น้ำเสียเริ่มมีสารถูกคุณซับเจือปน ออกมากว่าจุดเบรคทรูจ์ (Break Through) ซึ่งเป็นจุดที่คอลัมน์ไม่สามารถทำงานได้ 100 เปอร์เซ็นต์อีก

เวลาการใช้งาน (Service Time) จะมีค่าเพิ่มขึ้นหรือลดลง ขึ้นอยู่กับปัจจัย ดังนี้

- 1) ความสูงของชั้นตัวคุณซับ โดยเวลาการใช้งานของตัวคุณซับมีค่าเพิ่มขึ้นเมื่อเพิ่มความสูงของชั้นตัวคุณซับ และจะลดลงเมื่อความสูงของตัวคุณซับลดลง
- 2) พื้นที่ผิวจำเพาะของตัวคุณซับ (Specific Surface Area) ตัวคุณซับที่มีพื้นที่ผิวจำเพาะมากทำให้เวลาการใช้งานมากกว่าตัวคุณซับที่มีพื้นที่ผิวจำเพาะน้อย

3) อัตราการกรอง จะส่งผลต่อเวลาการใช้งานของตัวดูดซับ คือ ถ้าอัตราการกรองสูง จะทำให้เวลาการใช้งานน้อยกว่าอัตราการกรองต่ำ

4) ความเข้มข้นของน้ำเสียที่เข้าระบบจะส่งผลต่อให้เวลาการใช้งาน เมื่อระดับความเข้มข้นของน้ำเสียสูง จะทำให้เวลาการใช้งานน้อยกว่าที่ความเข้มข้นต่ำ

การเลือกใช้ลักษณะของน้ำไหลผ่านชั้นของตัวดูดซับ สามารถเลือกใช้ได้ดังนี้

1) การไหลลง (Down Flow) คือ การให้น้ำไหลผ่านชั้นตัวดูดซับ โดยอาศัยแรงโน้มถ่วงของโลก แต่เมื่อตัวดูดซับเสื่อมสภาพจะต้องทำการฟื้นฟูสภาพใหม่ทั้งคอลัมน์

2) การไหลขึ้น (Up Flow) คือ การให้น้ำที่ต้องใช้พลังงานในการดันน้ำให้ไหลผ่านชั้นตัวดูดซับขึ้นชั้บน สามารถฟื้นฟูสภาพของชั้นตัวดูดซับที่หมดสภาพแล้วได้เป็นระยะๆ โดยการเอาตัวดูดซับออกด้านล่างคอลัมน์ เมื่อน้ำไปทำการฟื้นสภาพแล้ว สามารถนำกลับมาใส่ในส่วนบนของคอลัมน์ได้

การออกแบบการบำบัดโดยใช้กังกรองการดูดซับ มีข้อพิจารณา ดังนี้ (เสริมพลและไชยฤทธิ์, 2524)

1) การให้น้ำไหลลงข้างล่าง (Down Flow) หรือ ไหลขึ้นชั้บน (Up Flow)

2) การใช้หน่วยเดียวหรือหลายหน่วยต่อกันเป็นอนุกรมหรือขนานได้

3) ถ้าเลือกให้น้ำไหลลงล่างจะให้ไหลด้วยแรงดัน (Pressure) หรือ ไหลด้วยตนเอง

4) ถ้าเลือกให้น้ำไหลขึ้นชั้บนจะให้ชั้นตัวดูดซับอัดแน่น (Pack Bed) หรือขยายตัวได้ (Expanded) เมื่อน้ำไหลผ่านตัวกรอง

5) ลักษณะถังบรรจุ วัสดุที่ใช้ทำถังกรองดูดซับ

7. การคายซับ (Desorption)

การคายสารถูกดูดซับออกจากผิวของตัวดูดซับ ขึ้นอยู่กับ

- 1) ตัวประดิษฐ์การแพร่ของสารถูกดูดซับ
- 2) ปริมาณของสารที่ถูกดูดซับ
- 3) ความแข็งแรงของการเกิดการดูดซับ (ในสมการฟลูนคลิก ค่า $1/n$ เพิ่มขึ้น)
- 4) ขนาดของอนุภาคตัวดูดซับ

งานวิจัยที่เกี่ยวข้อง

Bruemmer and Tiller (1988) ได้ศึกษาจนน้ำสารต่ำการดูดซับและการรายซับของนิเกิล สังกะสี และแแคดเมียม โดยจีโอลีไทต์ (Goethite) เป็นตัวดูดซับ รวมทั้งได้ศึกษาการแพร่โลหะ ออกไซด์เข้าไปภายในอนุภาคของจีโอลีไทต์ โดยศึกษาความเข้มข้นเริ่มต้นของโลหะออกไซด์อยู่ในช่วง 10^{-6} ถึง 10^{-4} มก./ล. ค่าพีเอชในช่วง 4-8 เวลาการทำปฏิกิริยา 2 ชั่วโมง จำนวน 42 วัน และทดสอบที่อุณหภูมิ 5 - 35 องศาเซลเซียส พบว่า การดูดซับของโลหะออกไซด์จะเพิ่มขึ้นเมื่อเพิ่มพีเอช รวมทั้งเวลาในการการทำปฏิกิริยา และอุณหภูมิจะเพิ่มขึ้นด้วย ในการดูดซับนี้นิเกิลเพิ่นอย่างรวดเร็วภายในช่วง 2-3 ชั่วโมงแรก และตามด้วยปฏิกิริยาที่ช้ามากซึ่งมีความสัมพันธ์ เชิงเส้นตรงกับเวลา ($t^{1/2}$)

Wong and Fung (2002) ได้ศึกษาการทำจัดและการนำกลับมาใช้ของนิเกิล ไอออนจากสารละลาย โดยใช้เชลล์อินเทอร์โรแบคทีเรีย (*Enterobacter* sp.4-2) ยึดติดกับแมgnีไทต์ (Fe_3O_4) โดยสัดส่วนของเชลล์แบคทีเรียต่อแมgnีไทต์เป็น 10 : 1 ซึ่งควบคุมอุณหภูมิที่ 25 องศาเซลเซียส และใช้ระยะเวลาเก็บกัก 10 นาที สามารถลดนิเกิล ไอออนในสารละลายได้ 90 เปอร์เซ็นต์

Moller *et al.*, (2002) ได้ศึกษาการทำจัดโลหะหนักที่คล้ายอยู่ในน้ำโดยใช้ทรัายเคลือบออกไซด์ (Iron Oxide Coated Sand, IOCS) โลหะหนักที่ใช้ในการศึกษาคือ ตะกั่ว (Pb) ทองแดง (Cu) สังกะสี (Zn) และโครเมียม (Cr) เหล็กออกไซด์เป็นกลุ่มเฟอร์ริกไฮดรัส และจีโอลีไทต์เคลือบด้วยทรัาย ขนาดอนุภาค 0.32-0.71 มิลลิเมตร มีความพรุน 38 เปอร์เซ็นต์ โดยบรรจุในคอลัมน์ขนาดเส้นผ่านศูนย์กลาง 32 มิลลิเมตร ความยาว 1 เมตร ความหนา 0.3 เมตร ความเร็วของน้ำที่ไหลผ่านคอลัมน์ เท่ากับ 1 และ 3 เมตรต่อชั่วโมง พบว่าสามารถทำจัดโลหะหนักได้มากกว่า 90 เปอร์เซ็นต์

Sung Ahn *et al.*, (2001) ได้ศึกษาการกำจัดอาร์ซีนิก (As) โดยใช้ผลพลอยได้ภายในโรงงานอุตสาหกรรมผลิตเหล็กที่เหลือจากการกระบวนการต่างๆ โดยมีสารประกอบต่างๆ ดังตารางที่ 11 ในการทำทดลองแบบที่ละครั้ง (Batch) ปริมาณเหล็กออกไซด์ 50 มิลลิกรัม และสารละลายที่มีอาร์ซีนิกที่ความเข้มข้น 25 มิลลิกรัมต่อลิตร ใช้ความเร็ว rotor ในวงพัดลม 150 รอบต่อนาที เป็นเวลา 1, 3, 6, 12, 24, 48 และ 72 ชั่วโมง แล้วนำมาหาค่าอาร์ซีนิกที่เหลืออยู่ พบร่วมเมื่อเวลาผ่านไป 20 ชั่วโมงอาร์ซีนิกที่เหลืออยู่มีค่าน้อยกว่า 5 มิลลิกรัมต่อลิตร ดังแสดงในภาพที่ 12

Oliveira *et al.*, (2002) ได้ศึกษาส่วนผสมระหว่างดินกับเหล็กออกไซด์ ($\alpha\text{-Fe}_2\text{O}_3$) เป็นตัวดูดซับ (Adsorbent) โดยสารถูกดูดซับ (Adsorbate) เป็นสารที่ปนเปื้อนด้วย นิเกิล ทองแดง แคดเมียม และสังกะสี ตัวดูดซับเหล็กออกไซด์ที่ใช้เป็นส่วนผสมขึ้นมา มีพื้นที่ผิว 66 ตาราง เมตรต่อกรัม พบร่วมในสัดส่วนดินต่olle็กออกไซด์ 2:1 ที่อุณหภูมิ 28 องศาเซลเซียส สามารถกำจัด นิเกิล ทองแดง แคดเมียม และสังกะสี ได้ 40, 50, 74 และ 75 มิลลิกรัมต่อกرامของตัวดูดซับ ไอโซ เทคนิคการดูดซับ ตามลำดับ ดังแสดงในภาพที่ 13

ตารางที่ 11 คุณลักษณะของเหล็กออกไซด์จากผลผลิตได้จากการรีไซเคิล

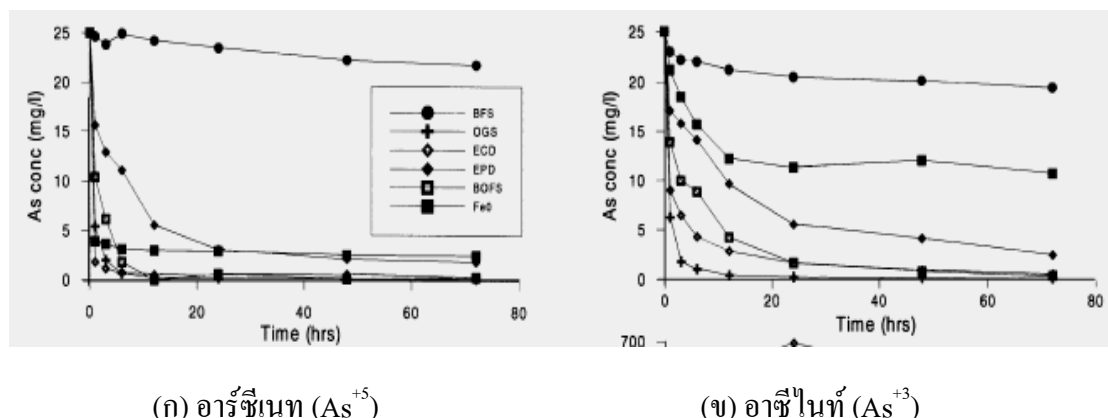
รายการ	องค์ประกอบทางเคมี	แหล่งกำเนิด				
		Blast Furnace	Oxygen Gas	Evaporation Cooler	Electrostatic Precipitator	Basic Oxygen
		Sludge, BFS	Sludge, OGS	Dust, ECD	Dust, EPD	Furnace Slag, BOFS
องค์ประกอบทางเคมี	SiO_2	7.34	0.75	0.90	1.17	11.04
	Al_2O_3	1.76	<0.01	<0.01	<0.01	1.47
	TiO_2	0.82	0.04	0.09	0.08	1.40
	Fe_2O_3	64.82	75.75	81.78	80.69	31.34
	MgO	1.14	2.44	1.81	1.62	11.31
	CaO	4.42	9.83	10.99	5.45	34.56
	Na_2O	0.05	<0.01	0.01	<0.01	<0.01
	K_2O	0.13	0.08	0.04	0.82	<0.01
	MnO	0.35	0.68	0.33	0.71	2.90
	P_2O_5	0.11	0.18	0.19	0.15	2.41
	ZnO	<0.01	4.66	<0.01	4.37	<0.01
	LoI	17.92	0.92	<0.01	<0.01	<0.01
	รวม	98.87	95.31	96.15	95.06	96.43
ความเข้มข้นของน้ำแข็งขยะ, Leachate Concentration (มก./ล.) ¹	pH	9.3	11.5	12.2	12.2	11.9
	Fe	0.20	<0.01	0.03	<0.01	<0.01
	Ca	15.8	111.2	1,003	513	290
	Pb	0.01	<0.01	2.72	0.43	0.03
	Zn	0.04	0.33	3.15	2.00	0.66
	Ni	<0.01	0.03	0.04	0.13	0.27

ตารางที่ 11 (ต่อ)

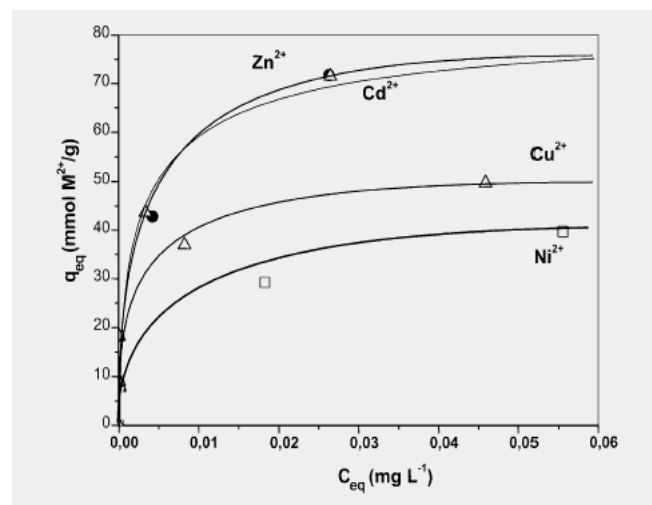
รายการ	องค์ประกอบทางเคมี	แหล่งกำเนิด				
		Blast Furnace	Oxygen Gas	Evaporation Cooler	Electrostatic Precipitator	Basic Oxygen
		Sludge, BFS	Sludge, OGS	Dust, ECD	Dust, EPD	Furnace Slag,
						BOFS
ขนาดของอนุภาค (μm)	-	16.2-161	1.2-582	1.3-420	3.0-117	<0.5 มม.
d(0.1),d(0.9), (0.5)						
องค์ประกอบหลักทางแร่/วิทยา	-	Fe_2O_3 , CaCO_3 , , SiO_2	Fe,FeO , CaCO_3 , $\text{Ca}(\text{OH})_2$, CaO	FeO,Fe $\text{Ca}(\text{OH})_2$, CaO	Fe_3O_4 , $\text{Fe}_2\text{O}_3,\text{Fe}$, $\text{Ca}(\text{OH})_2$	$\text{FeO},\text{Fe}_2\text{O}_3$, , Ca_2SiO_4 , $\text{Ca}_2\text{Fe}_2\text{O}_3$
				CaCO_3 ,		
				, CaCO_3		

หมายเหตุ¹ หมายถึง ทดสอบสำหรับวัสดุ 50 มก. ต่อน้ำที่ปราศจากอิオน (Deionized Water) ปริมาณ 500 มล. โดยการกรองตลอด 24 ชั่วโมง

ที่มา: Sung Ahn *et al.* (2002)



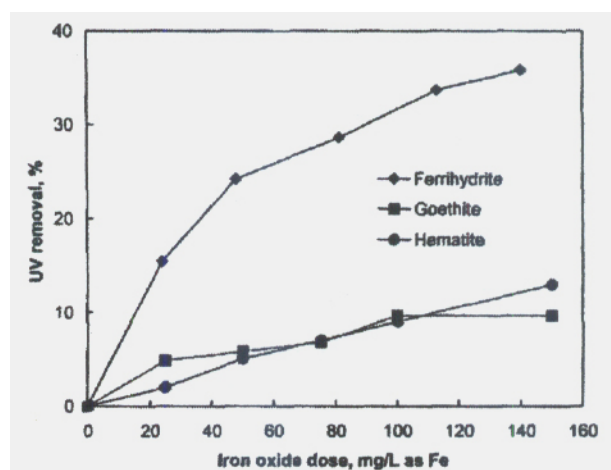
ภาพที่ 12 กราฟแสดง (ก) าร์เซนิท (As^{+5}) และ (ข) าร์ไนท์ (As^{+3}) ที่เหลืออยู่ที่เวลาต่างๆ
ที่มา: Sung Ahn *et al.* (2002)



ภาพที่ 13 ไอโซเทอมของการดูดซับของดินผสมเหล็กออกไซด์ที่สัดส่วน 2:1 อุณหภูมิ 28 ± 1 องศาเซลเซียส
ที่มา: Oliveira *et al.* (2002)

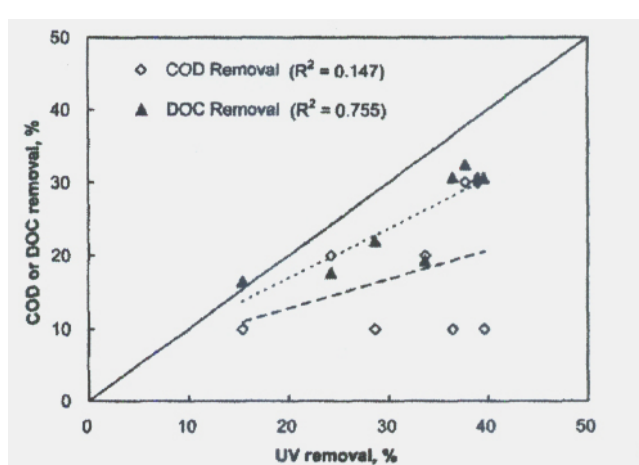
Choo and Kang (2002) ได้ศึกษาการกำจัดสารอินทรีย์ (Organic Matter) ในน้ำเสียโดยใช้การดูดซับเหล็กออกไซด์ ประกอบด้วยเฟอร์ริกไซครัส จีโออีไทด์ และสีมาไทด์ โดยความเข้มข้นของเหล็กออกไซด์ 0-150 มิลลิกรัมต่อลิตร และนำไปกรองผ่านกรอง 200 รูบต่อนาที เป็นเวลา 30 นาที ที่อุณหภูมิ 20 องศาเซลเซียส หลังจากนั้นนำไปวิเคราะห์หาค่าสารอินทรีย์ที่

เหลืออยู่ ค่าดีโอดี (Organic Carbon, DOC) ชีโอดี (COD) และการดูดกลืนแสงยูวี (UV Absorbance) พบว่า ค่าความเข้มข้นของเหล็กออกไซด์ 150 มิลลิกรัมต่อลิตร จีโอดีไทต์และ อีนาไทด์ สามารถดูดกลืนแสงยูวีได้น้อยกว่า 13 เปอร์เซ็นต์ ส่วนเฟอร์ริกไซดรัสสามารถกำจัดได้ 36 เปอร์เซ็นต์ ดังแสดงในภาพที่ 14 เมื่อนำมาหาความสัมพันธ์ระหว่างการดูดกลืนแสงยูวีกับการ กำจัดดีโอดีและดีโอดี พบร่วมกันว่า การดูดกลืนแสงยูวีที่ 40 เปอร์เซ็นต์ สามารถกำจัดดีโอดีได้ประมาณ 20 เปอร์เซ็นต์ และดีโอดีได้ประมาณ 30 เปอร์เซ็นต์ ดังแสดงในภาพที่ 15



ภาพที่ 14 เปอร์เซ็นต์การดูดกลืนแสงยูวีของเหล็กออกไซด์

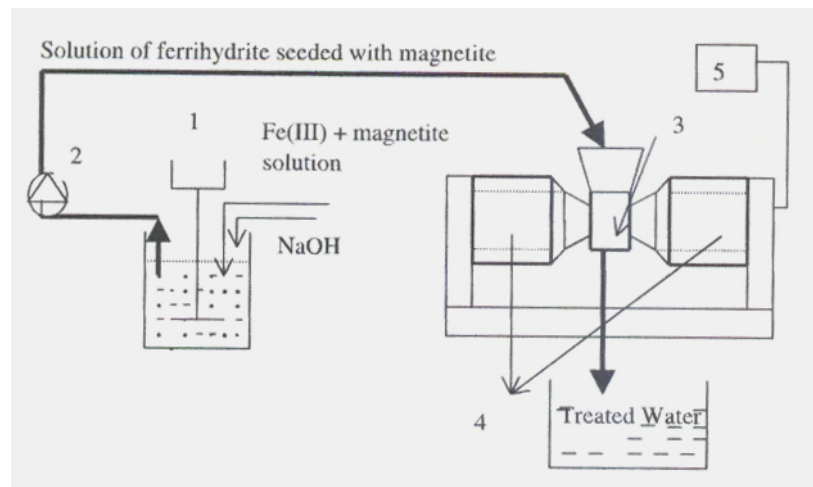
ที่มา: Choo and Kang (2002)



ภาพที่ 15 ความสัมพันธ์ระหว่างเปอร์เซ็นต์ดูดกลืนแสงยูวี กับเปอร์เซ็นต์กำจัดดีโอดีหรือดีโอดี

ที่มา: Choo and Kang (2002)

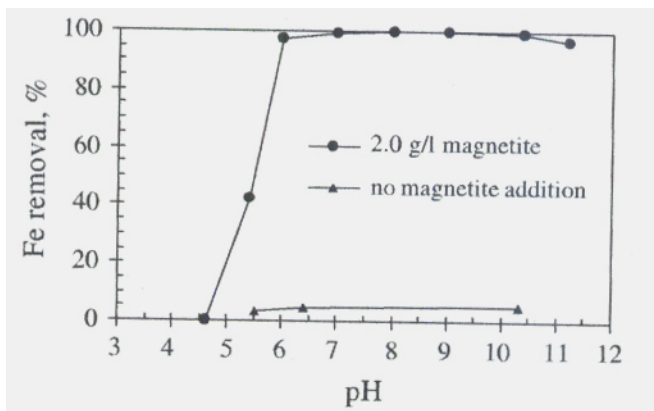
Karapinar (2002) ได้ศึกษาการใช้สนาณแม่เหล็กในการแยกเฟอร์ริกไ媳รัส (Ferrihydrite) จากน้ำเสียโดยใช้ออนุภาคของแมgnีไทต์ (Fe_3O_4) ซึ่งมีคุณสมบัติเป็นอนุภาคที่สามารถดูดติดแม่เหล็กได้ขนาดอนุภาค 13 ไมโครเมตร โดยมีพื้นที่ผิว 2.0 ตารางเมตรต่อกิโลกรัม ก่อนนำมาใช้จะทำการล้างด้วยกรดไฮดริก (HNO_3) และล้างน้ำที่ปราศจากอิオน (Deionized Water) และอบแห้งที่อุณหภูมิ 105 องศาเซลเซียส ใช้ 2.0 กรัมต่อลิตร ในการผสมกับสารละลายเฟอร์ริกไ媳รัส การทดลองดังแสดงในภาพที่ 16 พบว่าการใช้แมgnีไทต์และใช้สนาณแม่เหล็กในการเร่งอนุภาคในการตกรตะกอนที่เพื่อชั่งแต่ 5.5 ชั่ง ไปจะตกรตะกอนเฟอร์ริกไ媳รัสได้มากกว่า 90 เปอร์เซ็นต์ ในการซึ่งที่ไม่ใช้สนาณแม่เหล็กจะตกรตะกอนได้ 5 เปอร์เซ็นต์ ดังแสดงในภาพที่ 17



สัญลักษณ์

- 1 Mechanic Stirrer,
- 2 Peristaltic pump,
- 3 Feed Box,
- 4 Coils,
- 5 Current Control Panel

ภาพที่ 16 การทดลองใช้ออนุภาคแมgnีไทต์และสนาณแม่เหล็กแยกเฟอร์ริกไ媳รัสจากน้ำเสีย
ที่มา: Karapinar (2002)



ภาพที่ 17 ประสิทธิภาพการกำจัดเฟอร์ริกไซดรัสโดยใช้สนา�แม่เหล็กขนาด 6900 G.

ที่มา: Karapinar (2002)

Namasivayam and Ranganthan (1995) ได้ศึกษาการกำจัดแคลดเมียมด้วยตะกอนเหล็ก(II) และโครเมียม(III) ไซดรอกไซด์ ซึ่งเป็นของเสียจากโรงงานอุตสาหกรรมปุ๋ย นำมาทดลองเป็นแบบไม่มีต่อเนื่อง(Batch) พบร่วมสมดุลการดูดซับจะเกิดขึ้นภายในเวลา 5 ชั่วโมง โดยไม่ขึ้นอยู่กับความเข้มข้นเริ่มต้น คือเมื่อเพิ่มความเข้มข้นของแคลดเมียมให้อ่อน เปอร์เซ็นต์การดูดซับจะลดลง แต่ปริมาณโลหะที่ถูกดูดซับต่อหน่วยน้ำหนักของตัวดูดซับจะเพิ่มขึ้น ส่วนการเพิ่มอุณหภูมิจาก 20 เป็น 40 องศาเซลเซียส ทำให้การดูดซับเพิ่มขึ้น เช่นเดียวกับผลของพีอoch โดยการเพิ่มพีอochจะทำให้การดูดซับเพิ่มด้วยเช่นกัน นอกจากนี้ยังสามารถนำกลับมาใช้ใหม่ได้ถึง 70 เปอร์เซ็นต์ เมื่อทำการปรับพีอoch เป็น 3.8

Chen *et al.* (1997) ได้ศึกษาการดูดซับตะกั่ว แคลดเมียม และสังกะสี ด้วยแร่อะพาไทต์(Apatite) ทดลองการศึกษา พบร่วม ความสามารถในการดูดซับตะกั่วด้วยแร่อะพาไทต์ไม่ขึ้นอยู่กับค่าพีอoch กล่าวคือ พีอoch 3-10.5 แร่อะพาไทต์ จะถูกดูดซับตะกั่วลดลง 99.9 เปอร์เซ็นต์ แต่ที่พีอoch 12 ดูดซับได้ลดลง 95.5 เปอร์เซ็นต์ สำหรับการดูดซับแคลดเมียม พบร่วมแร่อะพาไทต์จะสามารถดูดซับแคลดเมียมได้เพิ่มขึ้นตามพีอochที่สูงขึ้น และเพิ่มขึ้นเกือบร้อยละ 100 เมื่อพีอochมากกว่า 6.2 เช่นเดียวกับการดูดซับสังกะสี แต่แตกต่างกันเล็กน้อยในช่วงพีอoch 3.3-6.5 คือการดูดซับแคลดเมียมเพิ่มขึ้นเมื่อพีอochสูงขึ้น ในขณะที่การดูดซับสังกะสีลดลงจาก 0.7953 เป็น 0.5964 มิลลิโนลต์ต่อกิรัม และเพิ่มขึ้นทันทีเมื่อพีอochมากกว่า 6.5 ซึ่งสามารถกำจัดสังกะสีได้ถึงร้อยละ 99.9

Singh *et al.* (1998) ได้ทำการศึกษาความเป็นไปได้ในการใช้แร่สีม้าไฟต์ (Hematite) มากำจัดแคมเดเมียมในน้ำด้วยกระบวนการคุณชับ โดยทำการศึกษาปัจจัยต่างๆ ที่มีผลต่อการคุณชับ ได้แก่ ความเข้มข้นของแคมเดเมียม พีอีซ ขนาดอนุภาคของแร่สีม้าไฟต์ อัตราความเร็วในการเขย่า และ อุณหภูมิ ซึ่งพบว่า สภาวะที่เหมาะสมคือ ความเข้มข้นของแคมเดเมียมเท่ากับ 44.88 ไมโครโนลต์ต่อลิตร ที่อุณหภูมิ 20 องศาเซลเซียส และพีอีซที่ 9.2 โดยการใช้แร่สีม้าไฟต์ขนาดอนุภาคน้อยกว่า 200 ไมโครเมตร ปริมาณ 40 กรัมต่อลิตร อัตราเร็วในการเขย่า เท่ากับ 125 รอบต่อนาที เวลาที่เข้าสู่สมดุล 2 ชั่วโมง และที่สภาวะนี้สามารถกำจัดแคมเดเมียมได้ 98 เปอร์เซ็นต์ จากนั้นนำสภาวะที่เหมาะสมที่ได้มามำความค่าคงที่ต่างๆ และศึกษากลไกของการคุณชับแคมเดเมียมบนแร่สีม้าไฟต์จากสมการ ไอโซเทอมการคุณชับของแลงเมียร์

จรุณ (2544) ได้ศึกษาการกำจัดอาร์เซนิท และอาร์เซนิทในสารละลายโดยใช้สีม้าไฟต์เป็นตัวคุณชับ โดยใช้สภาวะความเข้มข้นของอาร์เซนิท และอาร์เซนิท 10 มิลลิกรัมต่อลิตร ที่พีอีซ เท่ากับ 4 และเวลาที่ใช้ในการคุณชับเท่ากับ 24 ชั่วโมง พบร่วมกับค่าสูงสุดของการกำจัดอาร์เซนิท และอาร์เซนิท เท่ากับร้อยละ 82 และร้อยละ 30 ตามลำดับสำหรับสีม้าไฟต์ เป็นตัวคุณชับ และพบว่าการคุณชับอาร์เซนิท และอาร์เซนิทเป็นไปตามรูปแบบของแลงเมียร์ ไอโซเทอม และฟลูนดลิก ไอโซเทอม